

Бесплатно

МИНИСТЕРСТВО ВЫСШЕГО И СРЕДНЕГО  
СПЕЦИАЛЬНОГО ОБРАЗОВАНИЯ УССР

КИЕВСКИЙ ОРДЕНА ЛЕНИНА ПОЛИТЕХНИЧЕСКИЙ  
ИНСТИТУТ имени 50-летия ВЕЛИКОЙ ОКТЯБРЬСКОЙ  
СОЦИАЛИСТИЧЕСКОЙ РЕВОЛЮЦИИ

## ВАЛЫ И ПОДШИПНИКИ КАЧЕНИЯ

МЕТОДИЧЕСКИЕ УКАЗАНИЯ  
К РАСЧЕТНО-ГРАФИЧЕСКИМ РАБОТАМ.  
ПРИМЕРЫ РАСЧЕТА

для студентов машиностроительных специальностей  
всех форм обучения

Зак. 1062.

Киев КПИ 1984







Валы и подшипники качения  
Методические указания  
к расчетно-графическим работам.  
Примеры расчета

для студентов машиностроительных  
специальностей всех форм обучения

Составители Владимир Васильевич Хильчевский  
Юрий Алексеевич Попченко  
Александр Пантелеевич Полежако

Редактор Л.В.Зотова  
Корректоры Л.В.Логвиненко  
С.А.Гольд

Подп. к печ. 12.06.84. Изд. № 463. Формат 84×108<sup>1</sup>/<sub>32</sub>.  
Бумага тип. № 3. Печать офсетная. Физ. печ. л. 162<sup>2</sup>/<sub>3</sub> ч.-изд. л. 2,4  
Усл. печ. л. 2,73. Тираж 1000. Зак. № 1062. Бесплатно.

КПИ; 252056, Киев, Врест-Литовский проспект, 39.

Межвузовское полиграфическое предприятие.  
252135, Киев, бульвар Т. Шевченко, 78.

МИНИСТЕРСТВО ВЫСШЕГО И СРЕДНЕГО СПЕЦИАЛЬНОГО ОБРАЗОВАНИЯ УССР  
КИЕВСКИЙ ОРДЕНА ЛЕНИНА ПОЛИТЕХНИЧЕСКИЙ ИНСТИТУТ  
имени 50-летия Великой Октябрьской социалистической революции

Утверждено на заседании кафедры  
материаловедения и технологии  
конструкционных материалов  
протокол № 5 от 28 декабря 1983 г.

ВАЛЫ И ПОДШИПНИКИ КАЧЕНИЯ  
МЕТОДИЧЕСКИЕ УКАЗАНИЯ  
К РАСЧЕТНО-ГРАФИЧЕСКИМ РАБОТАМ.  
ПРИМЕРЫ РАСЧЕТА  
для студентов машиностроительных  
специальностей всех форм обучения

Киев КПИ 1984



1. ПОСЛЕДОВАТЕЛЬНОСТЬ РАЧЕНИЯ БАЛЫ  
1.1. Выбор материала и определение действующих  
на балы нагрузок

Углеродистую сталь обыкновенного качества марок Ст3 и Ст6  
100Т 880-71 принимают в основном для изготовления валов, несущая  
опорные концы которых определяются критерием жесткости. Число ве-  
стов изготавляют из качественной углеродистой стали марок Ст3, 30  
35, 40 и 45 по ГОСТ 1030-77. Для снижения массы и твердости раз-  
меров, увеличения жесткости и окончательных отбавован-  
ных валов применяют более короткую легированную сталь марок  
40ХН, 40ХН2М, 30Х1М и др. по ГОСТ 4348-71 и соответствующим  
термической и механической обработкой. Сталь имеет в виду,  
что наряду с увеличением жесткости уменьшается и, наоборот,  
азотирование снижает эластичность и повышает напрежение на предел  
выносливости.

В советское время вальс был самым популярным и овеянным славой, восторгавшим и восторженными на нем детьми передачу. Наряду с тем, что озорного веселья и все население на него детей в большинстве проекторных расчистов превращают.

I.I.L. Цилиндрическая поверхность перекача:

ОКРУЖИТЕЛЬНОЕ УСИЛИЕ

$$\bar{r} = \bar{r}' = \bar{r}'' = r'/\rho' = r''/\rho'',$$

$$F = F_1 = F_2 = F_3 = F_4 = \sigma T / d^2$$

032	15	RA#2
032	20	IF(P1-P2)+5,15,16
031		GO1010
030		FAC=V1
029		FV1=FV2
028		V1=FV1
027		FV2=X1
026		FV1=FV2
025	12	X1=FV1
024	11	GO1010

055 PRINT103,00  
054 104 FORMAT(1X, 'ANAMNCH  
053 PRINT104,CN  
052 107 FORMAT(1X, 'TPEBXEN  
051 PRINT107,C  
050 HD=1,0E6\*HLD/80,\*V  
049 HLU=(CN,DE)\*3  
048 21 C=HE+HL\*0.333  
047 G0105  
046 P2=PI  
045 16 QR=PI

После ремонта заправочная машина выводит на печать следующие данные:

форматин:

ПРОГРАММА ДЛЯ ВЫБОРА ПОДШИПНИКА КАЧЕНИЯ

РАВНАТЬ. РЕАКТИВ ОПОРА 1 = \_\_\_\_\_ Н И РЕЗ = \_\_\_\_\_ Н

ОСНОВНЫЕ РЕАКЦИИ ОПОРА 1 = \_\_\_\_\_ Н И АЗ = \_\_\_\_\_ Н

ПРЕЖДЕ ВРЕМЯ ДИНАМИЧЕСКАЯ ПРОДОЛЖИТЕЛЬНОСТЬ СМ = \_\_\_\_\_ Н

ДИНАМИЧЕСКАЯ ПРОДОЛЖИТЕЛЬНОСТЬ СМ = \_\_\_\_\_ Н

СТАТИЧЕСКАЯ ПРОДОЛЖИТЕЛЬНОСТЬ СМ = \_\_\_\_\_ Н

СРОК СЛУЖБЫ ПОДШИПНИКА Н = \_\_\_\_\_ ЧАСОВ

ДЕСЯТИ СРОК СЛУЖБЫ НДЕ = \_\_\_\_\_ ЧАСОВ



# Приложение

Реализация на ЭВМ методики выбора радиальных однорядных шариковых подшипников по динамической грузоподъемности

## Подготовка исходных данных

- Для работы программы необходимо задать следующую информацию:
  - радиальные нагрузки опор 1 и 2 соответственно  $F_{R1}$  и  $F_{R2}$ ;
  - осевую нагрузку опоры 1 или опоры 2 -  $F_{A1}$  и  $F_{A2}$ . Если осевая нагрузка отсутствует, ее принимают равной 0;
  - табличные значения статической грузоподъемности  $C0$  и динамической грузоподъемности  $CN$  подшипника;
  - срок службы подшипника в часах -  $H$ ;
  - коэффициенты: вращения -  $V$ , безопасности -  $BEZ$ , температурный -  $TEM$ ;
  - частоту вращения подшипника -  $VEL$ ;
  - коэффициенты нагрузки по графику нагрузки -  $A1, A2, A3$  и  $A4$ . Если режим нагружения постоянный, то  $A1=A2=A3=A4=0$ ;
  - коэффициенты, учитывающие, какую часть времени подшипник работает при данном уровне нагрузки, -  $B1, B2, B3, B4$ . Если режим нагружения постоянный, то  $B1=B2=B3=B4=0$ .

## Текст программы

```

001  READ1,FR1,FR2,FA1,FA2,V,BEZ,TEM
002  1  FORMAT(4F7.1,3F3.1)
003  READ2,VEL,H,C0,CN
004  2  FORMAT(F5.1,4F10.1)
005  READ3,A1,A2,A3,A4
006  READ3,B1,B2,B3,B4
007  3  FORMAT(4F2.1)
008  PRINT100
009  100  FORMAT(10X,'ПРОГРАММА ДЛЯ ВЫБОРА ПОДШИПНИКА КАЧЕНИЯ')
010  PRINT101,FR1,FR2
011  101  FORMAT(5X,'РАДИАЛЬ. РЕАКЦИИ ОПОР R1=',F8.1,'Н И R2=',F8.1,'Н')
012  PRINT102,FA1,FA2
013  102  FORMAT(5X,'ОСЕВЫЕ РЕАКЦИИ ОПОР A1=',F8.1,'Н И A2=',F8.1,'Н')
014  IF((FA1-FA2)/10,11,12)
015  10  P1=FR1*V*BEZ*TEM
016  ER=FA2/V*FR2
017  E=0.183+1.38*(FA2/C0)-2.99*(FA2/C0)**2+2.416*(FA2/C0)**3
018  IF(ER-E)/13,13,14
019  13  P2=FR2*V*BEZ*TEM
  
```

радиальное усилие

$$F_r = F_{r1} = F_{r2} = F_t \operatorname{tg} \Delta,$$

где  $T_1, T_2$  - крутящие моменты;  $d_{w1}, d_{w2}$  - диаметры начальных окружностей соответственно шестерни и колеса;  $\Delta$  - угол зацепления.

## 1.1.2. Цилиндрическая косозубая зубчатая передача:

окружное усилие

$$F_t = F_{t1} = F_{t2} = 2T_1/d_{w1} = 2T_2/d_{w2},$$

радиальное усилие

$$F_r = F_{r1} = F_{r2} = F_t \operatorname{tg} \Delta / \cos \beta,$$

осевое усилие

$$F_a = F_{a1} = F_{a2} = F_t \operatorname{tg} \beta,$$

где  $\beta$  - угол наклона зубьев.

## 1.1.3. Коническая прямозубая передача:

окружное усилие

$$F_t = F_{t1} = F_{t2} = 2T_1/d_{wm1} = 2T_2/d_{wm2},$$

радиальное усилие

$$F_{r1} = F_{a2} = F_t \operatorname{tg} \delta \cos \delta_1,$$

осевое усилие

$$F_{a1} = F_{r2} = F_t \operatorname{tg} \delta \sin \delta_1,$$

где  $d_{wm1}, d_{wm2}$  - средние начальные диаметры;  $\delta_1$  - угол начального конуса.

## 1.1.4. Червячная передача:

окружное усилие

$$F_t = F_{a2} = 2T_1/d_{w1}; F_{t2} = F_{a1} = 2T_2/d_{w2},$$

радиальное усилие

$$F_{r1} = F_{r2} = F_t \operatorname{tg} \alpha.$$

## 1.1.5. Ременная передача:

сила давления на валы

$$Q = 260 F \sin (\Delta/2),$$

где  $\sigma_0$  - напряжения, вызванные предварительным натяжением ремня;  $F$  - суммарная площадь поперечного сечения ремней;  $\Delta$  - угол обхвата на ведущем шкиве.



$$Q = F + 2gK + gD,$$

та е - одружено уоине на везована; б - јорданске силе како-  
ва; к - корабљеник, уапшених пронаша пепи; л - макоп и м  
целин; д - мекобаво расколена.

1.2. Ориентировочный расход газа [г; 10]

[illegible]

$$p = 10 \sqrt[3]{\frac{1}{0.222}}$$

где  $T$  - критический момент, Н.м;  $[r]$  - допускаемые касательные напря-

Для дежурных ватов принимают  $[\tau] = 13..30$  мин.

Ощущаются и другие пути ориентировочной оценки диаметра вала. Например, диаметр выходного конца выходного вала можно при-

$$D' \approx \sqrt[3]{140 T'}$$

Лав 7 - крупнейший момент на острожном валу, Н.М.

Числовой коэффициент соответствует  $[r] = 35 \text{ мПа}$ .

$$d_2 \approx \sqrt[3]{100 T_2}$$

Диаметр выходного конца тиксохонного вала можно определить по

ԵՐԿՈՓ

2. - крупнейший момент на пиктограмме Вату, Н.М.

Числовой коэффициент соответствует  $[2] = 50 \text{ мПа}$ .

Если оптический вал детектора связан с валом электродвигателя муфтой, то его диаметр принимают равным  $0,8 \dots 1,0 d_f$  -

Универсальное право собственности.

47

ночь  $C = 90500$  Н: фактор эквивалентной нагрузки  $L = 0,29$ , коэффициент разнородной нагрузки  $X = 0,4$ .

4.8.2. Определена осевая составляющая от реактивной нагрузки:  
 $S' = 0,83 \text{ в. в.} \cdot 0,83 \cdot 0,29 \cdot 2435 = 590 \text{ н.}$   
 Принимаем  $S' = 7380 \text{ н. в. в.}$

4.8.3. Определенное эквивалентное финансовое отношение к нацпарку для опора I, считая, что все нацпарку воспроизводится ее реальный по-

$$\frac{V_F}{V_F} = 7580/1,0 \cdot 2455 = 3,1 > e = 0,29,$$

$$\frac{V_F}{V_F} = 7580/1,0 \cdot 2455 = 3,1 > e = 0,29,$$

$$0.01 = 1/81 \text{ мов./м.} \quad 0.1 = 1/10 \text{ мов./м.} \quad 0.5 = 1/2 \text{ мов./м.}$$

4.8.4. Определить расчетную динамическую грузоподъемность

$$C = 7^{3/10} \rho' = 125^{3/10} \rho' = 24500 = 103000 \text{ H,}$$

$$\text{The } 7 = 60^{27/10} \rho' = 60 \cdot 520 \cdot 4000/10^6 = 125 \text{ mm. od.}$$

Так как расчетное значение динамической грузоподъемности  $\gamma_{\text{ом.п.}} 4.8.1$ , выдранные помпидинки похоят. Вероятность безотказной работы выше 90%.

4.8.5. Находим фактичную долю голосов в выбранных под-  
группах:

$$L = (C/p')^{10/3} = (104000/24500)^{10/3} = 126 \text{ M.H.} \cdot \text{od.}$$

4.8.6. Находим эквивалентную линейную зависимость правых  
членов 2:

$$P^2 = F^{22} V^6 K^7 = 3100 \cdot 1,0 \cdot 1,5 \cdot 1,0 = 4650 \text{ H.}$$

4.8.7 Определить динамическую грузоподъемность опоры 2:

$$C^2 = 71/3 \quad D^2 = 1251/3 \quad \cdot 4630 = 22800 \text{ H.}$$

4,8. По справочнику применяем полиминер легкой фракции 209, у которого  $d = 45$  мм,  $L = 85$  мм, минимальная грузоподъемность  $C = 25700$  Н, статическая грузоподъемность  $C_s = 18100$  Н, предельная частота вращения  $n = 6300$  мин<sup>-1</sup> при мощности 90%.



Поскольку  $C_p$  меньше табличного значения, выбранный подшипник подходит. Вероятность его безотказной работы выше 90%.

4.7.7. Находим фактическую долговечность выбранных подшипников:

$$L = (C/P)^{10/3} = (96600/13800)^{10/3} = 660,7 \text{ млн. об};$$

$$L_h = 10^6 L / 60n = 10^6 \cdot 660,7 / 60 \cdot 470 = 23400 \text{ ч}.$$

#### 4.8. Пример выбора опор вала-червяка червячного редуктора

Подобрать подшипники вала-червяка /см. пример 4.4/, если дано:  $F_{\Sigma} = 2455 \text{ Н}$ ;  $F_{\Sigma 2} = 3100 \text{ Н}$ ;  $F_{\Sigma 3} = 7580 \text{ Н}$ ;  $n = 320 \text{ мин}^{-1}$ ;  $L_h = 4000 \text{ ч}$ ;  $d_g = 45 \text{ мм}$ .

В рассматриваемом примере левая опора состоит из двух радиально-упорных конических роликоподшипников. Такое решение опорного узла повышает осевую жесткость вала. Внутренние кольца подшипников размещаются на валу, наружные — в стакане. Регулировка подшипников осуществляется с помощью комплекта металлических прокладок, устанавливаемых между стаканом и крышкой подшипников. Правая опора, для которой принят радиальный однорядный шарикоподшипник, "плавающая". Внутреннее кольцо подшипника закреплено на валу неподвижно, а наружное может перемещаться, что способствует возможности свободного осевого перемещения вала.

Установка подшипников по такой схеме /рис.10/ используется при любых расстояниях между опорами, переменных по направлению осевых нагрузок, и реверсивной работе редуктора [12].

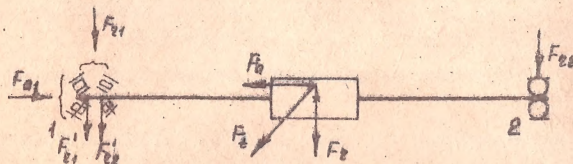


Рис.10. Расчетная схема к примеру 4.8

4.8.1. Предварительно принимаем для левой опоры I подшипники средней серии 7609, у которых  $d = 45 \text{ мм}$ ,  $D = 100 \text{ мм}$ , динамическая грузоподъемность  $C = 104000 \text{ Н}$ , статическая грузоподъем-

### 1.3. Конструирование вала [8; 9; 10; 12]

На основании предварительной эскизной компоновки редуктора выявляют форму вала, длину его отдельных участков и расстояние между опорами. Желательно, чтобы каждая устанавливаемая на вал деталь проходила до своей посадочной поверхности без натяга во избежание ослабления посадок и повреждения поверхностей. Поэтому на практике большинство валов делают ступенчатыми. Диаметры посадочных поверхностей выбирают из ряда нормальных линейных размеров по СТ СЭВ 514-77 /табл.3/, а диаметры участков под подшипники качения согласуют со стандартным рядом чисел для внутренних диаметров подшипников. Напомним, что в диапазоне размеров 3...10 мм внутренние диаметры стандартизованы через 1 мм, до 20 мм — через 2...3 мм, а от 20 до 500 мм — кратны 5. Перепад диаметров соседних участков должен быть достаточным для восприятия опорной поверхностью осевых сил и его необходимо согласовать с рекомендуемыми величинами заплечиков под подшипники качения по ГОСТ 20226-82.

Участки валов, предусмотренные для посадки зубчатых колес, шкивов, полумуфт и других деталей, выполняют цилиндрическими или коническими. Для фиксации деталей от осевых перемещений валы снабжают упорными буртиками, канавками для установки упорных пружинных колец по ГОСТ 13942-68, резьбой для установки круглых шлицевых гаек по ГОСТ 11871-80. Поскольку последние предохраняются от самоотвинчивания шайбами стопорными многоточечными, по ГОСТ 11872-80 на резьбовом участке вала предусматривается паз. Для передачи крутящего момента применяются шпоночные /СТ СЭВ 189-75 и ГОСТ 23360-80/ и прямобочные шлицевые /СТ СЭВ 188-75/ соединения. На участках, где имеются шпоночные соединения, следует предусматривать возможность разборки без удаления шпонки из вала.

Переход от диаметра к диаметру соседнего участка вала осуществляется с помощью галтели. Радиусы скруглений галтелей вала и размеры фасок на сопрягаемых деталях приведены в табл.4. Выходные участки валов выполняют цилиндрическими по ГОСТ 12080-75 /СТ СЭВ 537-77/ или коническими по ГОСТ 12081-72 /СТ СЭВ 537-77/ с конусностью 1 : 10.



В последние годы намечалась тенденция конструирования валов о минимальным углом асупов, а также номинальным по всей длине диаметром. Трассы валах в таких валах обеспечиваются соответствующими отклонениями диаметров подшипников.

1.4. Составление расчетной схемы и определение расчетного диаметра вала [5; 7-10; 12]

После окончной проработки компоновочной схемы вала /о уже том всех размещаемых на нем деталей/ переходят к оканализации валов, опор и натяжков, т.е. к составлению расчетной схемы. Определяют методом сопротивления материалов. Точку приложения реакции для расчетных подшипников принимают по середине подшипника. Для однорядных шариковых радиально-упорных подшипников расчетные точки приложения реакции от внешнего торца подшипника определяют по формуле  $d = 0.5b + 0.5 \times (d + D) \cdot \lg \lambda$

где  $b$  - ширина;  $d$  - соответствующее внутреннее и внешнее диаметры подшипника;  $\lambda$  - угол контакта.

Для однорядных конических роликовых радиально-упорных валов  $d = 0.57' + 0.25(d + D) \cdot \lg \lambda$ ,

Угол  $\lambda$ , действующий на валу, принимается соответствующим и расположенными по середине насаженных деталей.

Составив расчетную схему, определяют опорные реакции, строят соответствующую теорию прочности /чаще всего III или IV/, принимают соответствующую теорию прочности /чаще всего III или IV/, принимают соответствующие моменты и строят их эпюры. Приведенные моменты поочередно по соответствующим формулам:

$$M_{np}^{II} = \sqrt{M_z^2 + (K T_z)^2} \quad M_{np}^{IV} = \sqrt{M_z^2 + 0.75(K T_z)^2}$$

где  $M_z$  - суммарный изгибающий момент;  $T_z$  - крутящий момент;  $K = [C_1' / C_2']$  - допускаемые напряжения для валов при симметричном цикле напряжений;  $[C_1']$  - допускаемые напряжения для валов при пульсирующем цикле напряжений /табл. 3/.

компоновочной схеме. Рационализация валов осуществляется с помощью компьютеризации расчетов, устанавливаемых между кривошипом подшипника и корпусом редуктора. Такие подшипники часто устанавливаются в цилиндрических редукторах, однако их использование в этом случае оправдано, поскольку они позволяют уменьшить размеры опорных узлов редукторов.

4.7.1. Ориентировочно принимаем подшипники роликовые конические однорядные с шариковой канавкой, у которых  $d = 50$  мм,  $D = 110$  мм, динамическая грузоподъемность  $C = 96600$  Н, статическая грузоподъемность  $C_0 = 75900$  Н, коэффициент радиальной нагрузки  $X = 0.4$ , коэффициент осевой нагрузки  $Y = 1.94$ ,  $e = 0.31$ .

4.7.2. Определяем осевые составляющие от радиальной нагрузки:  $S_1' = 0.83 e F_{r1}' = 0.83 \cdot 0.31 \cdot 7430 = 1920$  Н,  $S_2' = 0.83 e F_{r2}' = 0.83 \cdot 0.31 \cdot 2830 = 743$  Н.

4.7.3. Определяем осевые реакции опор I и II. Для этого принимаем суммарные осевые усилия, действующие на подшипники. Поэтому  $F_{r1}' = S_1' - S_2' = 1920 - 743 = 1177$  Н,  $F_{r2}' = S_2' = 743$  Н.

4.7.4. Определяем эквивалентную динамическую нагрузку опоры I. Так как отношение  $F_{r1}' / F_{r2}' = 1920 / 743 = 2.58 < e$ , то  $F_{r1}' = F_{r1}' \cdot 1.0 \cdot 1.3 \cdot 1.0 = 2500$  Н, где  $K_s = 1.3$  /см. табл. 17/,  $K_T = 1.0$  /см. табл. 18/.

4.7.5. Определяем эквивалентную динамическую нагрузку опоры II. Так как отношение  $F_{r2}' / F_{r1}' = 743 / 2500 = 0.29 < e$ , то  $F_{r2}' = (X F_{r2}'^2 + Y F_{a2}'^2) / K_s K_T = (0.4 \cdot 1.0 \cdot 10100 + 1.94 \cdot 1.0 \cdot 13800) \cdot 1.3 \cdot 1.0 = 13800$  Н.

4.7.6. Определяем расчетную динамическую грузоподъемность подшипника опоры II /данные нагруженности/.

$$C_p = 7.3 / 10 \cdot 13800 = 83200 \text{ Н} < C, \quad \text{где } \lambda = 60 \cdot 10^4 / 10^6 = 60.750 \cdot 10000 / 10^6 = 438 \text{ мм} \cdot \text{мм}.$$



4.6.5. Определяем долговечность подшипника номинальную и при каждом режиме нагружения:

$$L = 60nL_h/10^6 = 60 \cdot 430 \cdot 15000/10^6 = 405 \text{ млн. об.};$$

$$L_1 = L_2 = 0,5L = 0,5 \cdot 405 = 202,5 \text{ млн. об.}$$

4.6.6. Подсчитываем эквивалентную динамическую нагрузку опоры с учетом переменности режима нагружения:

$$P_2 = \sqrt[3]{\frac{L_1}{L} \left( \frac{P_1}{P_2} \right)^3 + \frac{L_2}{L} \left( \frac{P_2}{P_2} \right)^3} = \sqrt[3]{\frac{202,5}{405} \cdot 4780^3 + \frac{202,5}{405} \cdot 2880^3} = 4000 \text{ Н.}$$

4.6.7. Определяем расчетную динамическую грузоподъемность подшипника:

$$C_p = L^{3/10} P_2 = 405^{3/10} \cdot 4000 = 23990 \text{ Н.}$$

Поскольку  $C_p$  меньше табличного значения, выбранный подшипник подходит. Вероятность его безотказной работы выше 90%.

4.6.8. Находим фактическую долговечность выбранных подшипников:

$$L = (C_p/P_2)^{10/3} = (23990/4000)^{10/3} = 415 \text{ млн. об.};$$

$$L_h = 10^6 L / 60n = 10^6 \cdot 415 / 60 \cdot 430 = 15400 \text{ ч.}$$

4.7. Пример выбора опор промежуточного вала двухступенчатого зубчатого редуктора

Подобрать подшипники вала /см. пример 4.3/, если дано:

$F_{t1} = 7450 \text{ Н}; F_{r1} = 10100 \text{ Н};$  внешняя осевая сила  $P_a = F_{a2} - F_{a1} = 2440 - 980 = 1460 \text{ Н}; d_n = 50 \text{ мм}; n = 730 \text{ мин}^{-1}; L_h = 10000 \text{ ч}, t \leq 100^\circ\text{C}.$  Нагрузка постоянная. Рабочая схема показана на рис. 9.

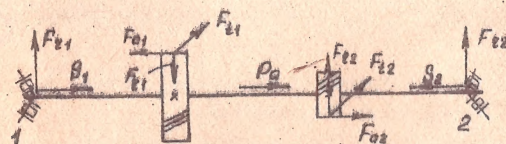


Рис. 9. Расчетная схема к примеру 4.7

В рассмотренном примере в качестве опор вала взяты радиально-упорные конические роликоподшипники, отличающиеся удобством сборки и разборки, а также возможностью регулировки зазоров для

По значениям  $M_{np}$  и  $[\sigma]$  определяют расчетный диаметр вала в опасном сечении:  $d = 10 \sqrt{M_{np} / (0,1 [\sigma])}$ . Расчетный диаметр вала приводят в соответствии с СТ СЭВ 514-77 /см. табл. 3/. После этого выполняют проверочные расчеты вала на статистическую прочность и выносливость, а когда требуется - на жесткость.

### 1.3. Проверочный расчет вала на статическую прочность [10]

Данный расчет выполняют для тяжело нагруженных валов с целью проверки отсутствия пластических деформаций под действием кратковременных перегрузок, повторность действия которых не превышает  $10^3$  циклов.

Расчет ведется по наибольшим нагрузкам, равным произведению номинальных нагрузок на коэффициент перегрузки ( $K_n = T_{max} / T$ ). Условие статической прочности имеет вид

$$\sigma_{ad} = M_{np} / W_x \leq [\sigma],$$

где  $W_x$  - осевой момент сопротивления;  $[\sigma] = \frac{\sigma_T}{n}$  - допускаемые напряжения;  $\sigma_T$  - предел текучести материала вала;  $n$  - допускаемый коэффициент запаса прочности, выбираемый в зависимости от отношения  $\sigma_T / \sigma_b$  ( $\sigma_b$  - предел прочности) по табл. 6.

Если условие статической прочности не выполняется, следует увеличить диаметр вала в опасном сечении либо выбрать материал вала с более высокими механическими характеристиками.

### 1.6. Расчет вала на выносливость [7; 9 - 12]

Расчет на выносливость является основным и выполняется по номинальным нагрузкам, повторность приложения которых достаточна для образования усталостного разрушения. Расчету предшествует подробная проработка конструкции вала. В качестве опасных сечений выбираются не только те сечения, в которых действуют наибольшие нагрузки, но и сечения, в которых имеются конструктивные концентраторы напряжений, особенно при малых диаметрах вала.

По существу расчет на выносливость сводится к определению запаса циклической прочности и сопоставлению его с допускаемым значением:

$$S = \frac{\sigma_s \sigma_T}{\sqrt{\sigma_s^2 + \sigma_T^2}} \geq [S]$$



Значения коэффициентов запаса при действии только названных напряжений  $S^0$  и напряжений  $S^1$  определяются по формулам

$$S^0 = \frac{(K^0 / \varepsilon^0 \beta^0 \beta^0) (G^0 + \psi^0 G^0)}{K^0 / \varepsilon^0 \beta^0 \beta^0 + \psi^0 G^0} ; S^1 = \frac{(K^1 / \varepsilon^1 \beta^1 \beta^1) (G^1 + \psi^1 G^1)}{K^1 / \varepsilon^1 \beta^1 \beta^1 + \psi^1 G^1}$$

где  $G^0$  и  $G^1$  — пределы выносливости соответственно при изгибе и кручении при симметричном цикле нагружения /табл. 1/;  $K^0$  и  $K^1$  — эффективные коэффициенты концентрации напряжений соответственно изгиба и кручения /табл. 7-12/;  $\varepsilon^0$  и  $\varepsilon^1$  — масштабные коэффициенты, учитывающие влияние шероховатости поверхности /табл. 13/;  $\beta^0$  — коэффициент, учитывающий влияние шероховатости по верности /табл. 14/;  $\beta^1$  — коэффициент, учитывающий влияние шероховатости по изгибу /табл. 15/; при отсутствии влияния шероховатости по изгибу и кручению /табл. 16/.

Значения  $M^0$  и  $M^1$  для валов со шпоночным пазом приведены в табл. 16.

Для достаточной точности определения расчетных напряжений, в основном однородности материала, малых или средних /до 200 мм/ диаметров валов принимают  $[S] = 1,5 \dots 2,5$ . Во всех остальных случаях  $[S] = 2,5 \dots 3,0$ .

Уточненный расчет на выносливость не нужно выполнять, если номинальное эквивалентное напряжение  $\sigma_{\text{экв}} = \sqrt{M_z^2 + T^2} / W_x \leq [\sigma] / K_\sigma$ .

1.6.1. Если вал работает при отпущенном наименьшем напряжении, предел выносливости определяют с учетом графика /циклограмма/ нагружения при эквивалентном числе циклов:

$$G^0 = \sigma^0 / N^0 ; G^1 = \tau^1 / N^1 ; \sigma^0 = \sigma^1 / K_\sigma ; \tau^1 = \tau^1 / K_\tau$$

где  $K_\sigma = \sqrt{N^0 / N^1}$  — коэффициент долговечности;  $N^0$  — базовое число циклов нагружения / $N^0 = 5 \cdot 10^6$  для малых и средних валов,  $N^0 = 10^7$  — для больших валов/;  $m$  — показатель наклона кривой усталости /обычно  $m = 9$ , для валов с посадками с гарантированным натягом  $m = 6$ /;  $N^1 = \sum_{i=1}^n (T_i / T)^{1/m}$  — эквивалентное число циклов;  $T$  и  $T_i$  — соответствующие моменты и соответствующее ему число циклов нагружения на каждой ступени нагружения;  $T_i$  — наибольший из линейно действующих моментов.

В рассматриваемом примере в качестве опор была коническая редуктора вала радиально-упорные конические роликоподшипники. Внутренние кольца подшипников закрепляются на валу неподвижно; наружные кольца размещаются в стакане, причем наружное кольцо правого подшипника осевым упором упирается в дутики стакана, а наружное кольцо левого поджимается крышечкой. При установке подшипников по такой схеме требуется регулировка как подшипников, так и зацепления конической зубчатой передачи, что обеспечивается на двумя комплектами металлических прокладок, размещаемых соответственно между крышечкой подшипника и стаканом, а также между стаканом и корпусом редуктора.

4.6.1. Ориентировочно принимаем подшипники роликовые конические однорядные малой серии 7206, у которых /по каталогу/  $d = 30$  мм,  $D = 62$  мм, динамическая грузоподъемность  $C = 29800$  Н, статическая грузоподъемность  $C_0 = 22300$  Н, вспомогательный коэффициент  $\varepsilon = 0,36$ , коэффициент радиальной нагрузки  $X = 0,4$ , коэффициент осевой нагрузки  $Y = 1,65$ .

4.6.2. Определяем осевые составляющие от радиальной нагрузки:

$$S'_1 = 0,88 F'_1 = 0,88 \cdot 0,36 \cdot 610 = 192 \text{ Н}; S'_2 = 0,88 F'_2 = 0,88 \cdot 0,36 \cdot 2660 = 795 \text{ Н}$$

Так как  $F'_2 > F'_1$  и  $S'_2 > S'_1$ , принимаем  $F'_2 = S'_2 = 795$  Н и  $F'_1 = S'_1 = 192$  Н, что соответствует

$$F'_1 = S'_1 - S'_2 = 330 \text{ Н}$$

4.6.3. Определяем эквивалентную динамическую нагрузку опоры 1. Так как отношение  $F'_1 / M^1 = 463 / 1,0 \cdot 610 = 0,766 > \varepsilon$ , то  $P = (X F'_1 + Y F'_2) K'_1 K'_2 = (0,4 \cdot 192 + 1,65 \cdot 463) \cdot 1,8 \cdot 1,0 = 1980 \text{ Н}$

где  $V = 1$ , так как вращается внутреннее кольцо,  $K'_2 = 1,8$  /см. табл. 17/,  $K'_1 = 1,0$  /см. табл. 18/.

4.6.4. Определяем эквивалентную динамическую нагрузку опоры 2. Так как отношение  $F'_2 / V F'_2 = 793 / 1,0 \cdot 2660 = 0,29 < \varepsilon$ , то  $P = F'_2 V K'_1 K'_2 = 2660 \cdot 1,0 \cdot 1,8 \cdot 1,0 = 4780 \text{ Н}$

Поскольку  $P_2 > P_1$ , дальнейший расчет ведем по более нагруженной опоре. С учетом графика нагружения /см. рис. 4/

$$P'_1 = P_2 = 4780 \text{ Н}, P'_2 = 0,6 P_2 = 0,6 \cdot 4780 = 2880 \text{ Н}$$



Так как отношение  $F_2/F_{22} = 630/(1,0 \cdot 3640) = 0,173 < \epsilon$ , то  
 $P_2 = F_{22} V K_f K_T = 3640 \cdot 1,0 \cdot 1,3 \cdot 1,0 = 4600$  Н.  
 Так как  $P_2 > P_1$ , дальнейший расчет ведем по  $P_2$ .  
 С учетом графика нагружения /см.рис.3/

$$P'_2 = P_2 = 4600 \text{ Н}; P''_2 = 0,8 P_2 = 0,8 \cdot 4600 = 3680 \text{ Н}.$$

4.5.4. Определяем долговечность подшипника номинальную и при каждом режиме нагружения:

$$L = 60 \pi L_k / 10^6 = 60 \cdot 190 \cdot 25000 / 10^6 = 285 \text{ млн.об};$$

$$L_1 = 0,6 L = 0,6 \cdot 285 = 171 \text{ млн.об};$$

$$L_2 = 0,4 L = 0,4 \cdot 285 = 114 \text{ млн.об}.$$

4.5.5. Подсчитываем эквивалентную динамическую нагрузку опоры 2 с учетом переменности режима нагружения:

$$P_2 = \sqrt[3]{\frac{(P'_2)^3 L_1 + (P''_2)^3 L_2}{L}} = \sqrt[3]{\frac{4600^3 \cdot 171 + 3680^3 \cdot 114}{285}} = 4300 \text{ Н}.$$

4.5.6. Определяем расчетную динамическую грузоподъемность подшипника:

$$C_p = L^{1/3} P_2 = 285^{1/3} \cdot 4300 = 28400 \text{ Н} < C = 37800 \text{ Н}.$$

Поскольку  $C_p$  меньше табличного значения, выбранный подшипник подходит. Вероятность его безотказной работы выше 90%.

4.5.7. Находим долговечность выбранных подшипников фактическую:

$$L = (C/P_2)^3 = (37800/4300)^3 = 680 \text{ млн.об}$$

или

$$L_k = 10^6 L / 60 \pi = 10^6 \cdot 680 / 60 \cdot 190 = 59600 \text{ ч}.$$

4.6. Пример выбора опор ведущего вала конического зубчатого редуктора

Подобрать подшипники вала /см.пример 4.2/, если дано:

$F_{21} = 610$  Н;  $F_{22} = 2660$  Н;  $F_a = 330$  Н;  $d_n = 30$  мм;  $n = 450$  мин<sup>-1</sup>;  
 $L_n = 15000$  ч;  $t \leq 100^\circ\text{C}$ . Расчетная схема показана на рис.8.



Рис.8. Расчетная схема к примеру 4.6

## 1.7. Расчет вала на жесткость [7; 10; 12]

Расчет на жесткость валов при изгибе выполняют для обеспечения правильной работы передач зацеплением и подшипников. Расчет связан с ограничением прогибов и углов поворота сечения вала. Условие жесткости имеет вид  $f \leq [f]$ ;  $\theta \leq [\theta]$ . Максимальный прогиб  $f$  и угол поворота  $\theta$  сечения определяют методами сопротивления материалов. Наибольший допустимый прогиб  $[f] = 0,0002 \dots 0,0003 / L$  / $L$  – расстояние между опорами/; в месте посадки цилиндрических зубчатых колес  $[f] \leq 0,01 \dots 0,03 / m$ , конических и гипоидных –  $[f] \leq 0,005 \dots 0,007 / m$  / $m$  – модуль/. Допустимый угол поворота под зубчатым колесом и в подшипниках скольжения  $[\theta] \leq 0,001$  рад; под радиальным шарикоподшипником  $[\theta] \leq 0,01$  рад; под сферическим  $[\theta] \leq 0,05$  рад.

## 2. ПОРЯДОК ВЫБОРА ПОДШИПНИКОВ КАЧЕНИЯ ПО ДИНАМИЧЕСКОЙ ГРУЗОПОДЪЕМНОСТИ [1; 4-6; 9; 10; 12]

Исходя из расчетной схемы вала, соотношения радиальных и осевых сил, действующих на опоры, конструкции подшипникового узла по диаметру цапфы вала, намечают тип подшипника и из каталога выписывают его конкретные характеристики.

Определяют эквивалентную динамическую нагрузку с учетом переменности режима нагружения.

Определяют расчетную динамическую грузоподъемность и сопоставляют ее с табличным значением. При необходимости вносят коррективы, изменяя тип или серию подшипника.

Определяют долговечность выбранных подшипников.

Расчет динамической грузоподъемности, эквивалентной динамической нагрузки и долговечности проводят в соответствии с ГОСТ 18855-82. Эквивалентная динамическая нагрузка в зависимости от конструктивной разновидности подшипника подсчитывается следующим образом:

для шариковых радиальных, шариковых и роликовых радиально-упорных подшипников

$$P = (X V F_r + Y F_a) K_s K_T \quad //1/$$



При выборе радиально-упорных подшипников, нагрузку с осевыми составляющими реакций опор, необходимо учитывать, поопределяя осевые нагрузки  $S$ , возникающие в результате действия радиальных нагрузок  $F_r$  при соответствующем угле контакта  $\alpha$ . Следует иметь в виду, что нагрузки  $F_r$  и  $S$  при составлении расчетной схемы при-

$$L = L' d_p$$

динамическую грузоподъемность подшипника эквивалентной динамической нагрузки и долговечности определяют  $L'$  - нагрузки, действующие в течение  $L'$  млн. об. По значению

$$P = \sqrt[3]{\frac{L'}{L} \left( \frac{F_r}{F_r'} \right)^{10/3} + \left( \frac{F_a}{F_a'} \right)^{10/3}}$$

динамическую нагрузку определяют по формуле При определении графика нагрузки подшипника эквивалентную

одевает по формуле  $L' = 10$  млн. об. Если  $n < 10$  мин<sup>-1</sup>, то в формулу /6/

$$L' = 10^{10} \frac{L}{60 n}$$

нагрузка долговечность, в часах, связана с  $L'$  зависимостью для шарикоподшипников,  $P = 10/3$  - для роликоподшипников. Норми-

$$L = (C/P) d_p^3$$

делают по формуле Номинальную основную долговечность в миллионах оборотов опре-

$k_f$  - температурный коэффициент /табл. 18/.  $k_s$  - коэффициент безопасности /табл. 17/;

если вращается внутреннее кольцо подшипника,  $V = 1,2$ , если вращается наружное кольцо подшипника,  $V = 1$ , коэффициент вращения  $V$  и осевой нагрузки;  $X$  и  $Y$  - коэффициенты соответственно

в формулах  $1/1 - 1/4$ ;  $F_r$  и  $F_a$  - соответственно радиальные и осевые нагрузки на подшипник;  $k_f$  - коэффициент безопасности

$$P = (X F_r^2 + Y F_a) k_s k_f$$

для шариковых и роликовых упорно-радиальных подшипников

$$P = F_a k_s k_f$$

для шариковых и роликовых упорных подшипников

$$P = V F_r k_s k_f$$

для радиальных радиальных подшипников

по табл. 18833-82 вспомогательный коэффициент  $\epsilon = 0,21$ . 2. Находим отношение  $F_r'/C_0 = 630/26700 = 0,024$ . Для этого отно-

4.3.3. Определяем эквивалентную динамическую нагрузку опор по:  $k_f = 1,3$  /см.табл. 17/,  $k_s = 1,0$  /см.табл. 18/. где  $V = 1$ , так как вращается по отношению к  $F_r$  внутреннее кольцо

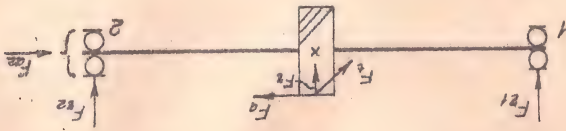
4.3.2. Поочередно эквивалентную динамическую нагрузку опоры I воспринимают только радиальную нагрузку

4.3.1. Ориентировочно принимаем шариковые подшипники стандартной серии 309, у которых /по каталогу/  $C_0 = 26700$  Н,  $d = 45$  мм,  $D = 100$  мм,  $B = 25$  мм, динамическая грузоподъемность  $C = 37800$  Н, относительная грузоподъемность  $C_0 = 26700$  Н.

4.3.1. Ориентировочно принимаем шариковые подшипники стандартной серии 309, у которых /по каталогу/  $C_0 = 26700$  Н,  $d = 45$  мм,  $D = 100$  мм,  $B = 25$  мм, динамическая грузоподъемность  $C = 37800$  Н, относительная грузоподъемность  $C_0 = 26700$  Н. 4.3.2. Поочередно эквивалентную динамическую нагрузку опоры I воспринимают только радиальную нагрузку

4.3.1. Ориентировочно принимаем шариковые подшипники стандартной серии 309, у которых /по каталогу/  $C_0 = 26700$  Н,  $d = 45$  мм,  $D = 100$  мм,  $B = 25$  мм, динамическая грузоподъемность  $C = 37800$  Н, относительная грузоподъемность  $C_0 = 26700$  Н.

Рис. 7. Расчетная схема к примеру 4.5



Подобрать подшипники вала /см. пример 4.1/, если дано:  $F_1 = 3200$  Н,  $F_2 = 3640$  Н,  $F_3 = 630$  Н,  $d'' = 45$  мм,  $n = 190$  мин<sup>-1</sup>,  $L_1' = 25000$  ч,  $L_2' = 10000$  ч,  $L_3' = 5000$  ч. Расчетная схема изображена на рис. 7.

Рис. 7. Расчетная схема к примеру 4.5



4.4.5. Выполняем проверочный расчет червяка на статическую прочность. Определяем максимальные нагрузки в опасном сечении с учетом кратковременных перегрузок:

$$M'_u = K_n M_u = 1,7 \cdot 365 = 620 \text{ Н} \cdot \text{м}, T' = K_n \cdot T = 1,7 \cdot 92 = 155 \text{ Н} \cdot \text{м};$$

$$M_{пр} = \sqrt{(M'_u)^2 + (T')^2} = \sqrt{620^2 + 155^2} = 640 \text{ Н} \cdot \text{м}.$$

Определяем действующие в опасном сечении напряжения и сравниваем их с допускаемыми:

$$\sigma_{пр} = M'_{пр} / W = 640 \cdot 10^3 / 0,1 \cdot 45,8^3 = 67 \text{ МПа};$$

$$[\sigma]_{пр} = \sigma_T / K_\sigma = 450 / 1,4 = 320 \text{ МПа, где } [K_\sigma] = 1,4 \text{ при}$$

$$\sigma_T / \sigma_B = 450 / 750 = 0,6 \text{ /см.табл.6/}.$$

Поскольку  $\sigma_{пр} < [\sigma]$ , статическая прочность червяка обеспечена.

4.4.6. Выполняем проверочный расчет червяка на выносливость при совместном действии циклических напряжений изгиба и кручения. Определяем номинальное эквивалентное напряжение в опасном сечении. В качестве опасного принимаем сечение посередине червяка:

$$\sigma_3 = \sqrt{M_u^2 + T^2} / W_x = \sqrt{(360 \cdot 10^3)^2 + (92 \cdot 10^3)^2} / 0,1 \cdot 45,8^3 = 38,4 \text{ МПа}.$$

Находим отношение  $\sigma_3 / K_\sigma [\sigma] = 0,83 \cdot 38,4 / (2,5 \cdot 2,2) = 51,5 \text{ МПа}$ , где  $[\sigma] = 2,5$ ;  $K_\sigma = 2,2$ ;  $\sigma_3 = 0,83$ . Поскольку отношение больше  $\sigma_3$ , уточненный расчет червяка на выносливость проводить не нужно. Его циклическая прочность считается обеспеченной.

4.4.7. Проводим проверочный расчет червяка на жесткость. Определяем приведенный момент инерции поперечного сечения червяка:

$$J_{пр} = \frac{\pi d f_1^4}{64} (0,375 + 0,625 \frac{d \alpha}{d f_1}) = 3,14 \cdot 45,8^4 / 64 \times$$

$$\times (0,375 + 0,625 \cdot 72 / 45,8) = 29,6 \cdot 10^4 \text{ мм}^4.$$

Находим максимальный прогиб вала-червяка:

$$f = \frac{(l_1 + l_2)^3 \sqrt{F_E^2 + F_T^2}}{48 E J_{пр}} = \frac{290^3 \sqrt{2960^2 + 2760^2}}{48 \cdot 2,1 \cdot 10^5 \cdot 29,6 \cdot 10^4} = 0,003 \text{ мм}.$$

Вычисляем допускаемую величину прогиба вала-червяка:

$$[f] = (0,005 \dots 0,007) m = (0,005 \dots 0,007) \cdot 6 =$$

$$= 0,030 \dots 0,042 \text{ мм, где } m = 6 - \text{модуль}.$$

Так как  $f < [f]$ , жесткость вала-червяка считается обеспеченной.

кладываются в точке пересечения линии действия результирующей нагрузки на тело качения с осью подшипника. Для радиально-упорных шариковых подшипников  $S = e F_r$ ; для роликовых конических  $S = 0,8 e F_r$ . Эта точка отстоит от торца подшипника на некотором расстоянии  $a$ , которое составляет:

для шариковых радиально-упорных подшипников

$$a = 0,5 [B + 0,5 (D + d) \tan \alpha];$$

для конических роликовых подшипников

$$a = 0,5 r' + \frac{1}{6} (D + d) e,$$

где  $B$  — ширина;  $d, D$  — соответственно внутренний и наружный диаметры;  $r'$  — габаритный размер по шарике подшипника;  $\alpha$  — угол контакта;  $e$  — вспомогательный коэффициент.

Для определения осевой нагрузки радиально-упорного подшипника подсчитывают сумму всех действующих на него осевых усилий  $\Sigma X$  /  $S$  и внешних  $X$ . Если  $\Sigma X$  оказывается меньше усилия  $S$ , принимают  $F_a = S$ ; а если  $\Sigma X > S$ , принимают  $F_a = \Sigma X$ .

### 3. СПРАВОЧНЫЕ ДАННЫЕ

Таблица 1

Основные механические характеристики сталей, применяемых для изготовления валов [1; 5; 10]

Марка стали	Твердость HB / не менее	Предел прочности $\sigma_B$ , МПа	Предел текучести $\sigma_T$ , МПа	Предел выносливости, МПа		$\psi_\sigma$	$\psi_\tau$	Термообработка
				при изгибе $\sigma_1$	при кручении $\tau_1$			
1	2	3	4	5	6	7	8	9
Ст5	—	500	260	200	110	0,05	0	—
Ст6	—	600	300	240	120	0,05	0	—
35	207	540	320	240	145	0,1	0,05	Н
35	230	630	380	290	175	0,1	0,05	У
35	320	1000	630	430	270	0,1	0,05	З
45	170	610	360	270	150	0,1	0,05	Н



Окончание табл. I

I	2	3	4	5	6	7	8	9
45	192	730	450	300	160	0,1	0,05	У
45	350	1000	800	400	240	0,1	0,05	З
40Х	260	950	700	420	210	0,15	0,1	У
40ХН	460	1600	1400	720	360	0,15	0,1	З
50Г2	250	960	700	390	280	0,15	0,1	З
18ХГТ	535	1000	800	450	290	0,15	0,1	П
20Х	350	650	400	290	145	0,15	0,1	П
12ХНЗА	578	850	700	390	195	0,15	0,1	П
35ХМ	430	1600	1400	650	325	0,15	0,1	З
35ХГВА	430	1700	1850	760	380	0,15	0,1	З
38Х20	652	950	800	425	210	0,15	0,1	А

Примечание. В обозначении марки стали первые две цифры указывают содержание углерода в сотых долях процента. Буквы обозначают: С - кремний, Г - марганец, Х - хром, Н - никель, Т - титан, В - вольфрам, Ф - ванадий, М - молибден, К - кобальт, П - медь. Марки высококачественной стали имеют в конце буквы А.

В графе "Термообработка" приняты следующие сокращения: У - улучшение, Н - нормализация, З - закалка, П - цементация, А - азотирование.

Таблица 2

Сравнительная характеристика твердости металлов и сплавов [1]

НВ	НРС	НЛ	НВ	НРС	НЛ	НВ	НРС	НЛ	НВ	НРС	НЛ
156	0	155	207	14	208	285	29	285	415	43	435
159	1	139	212	15	213	293	30	292	429	45	460
163	2	162	217	17	217	302	31	306	444	46	474
167	3	166	223	19	222	311	32	311	447	48	502
170	4	171	229	20	228	321	33	320	447	49	534
174	6	174	235	21	235	331	35	334	455	50	551
179	7	178	241	23	240	341	36	344	461	52	585
183	8	183	249	24	249	352	38	351	461	56	650
187	9	186	255	25	255	363	39	360	461	60	746
192	11	192	263	26	261	375	40	390	472	64	868
197	12	197	269	27	270	388	41	401	472	68	1022
201	13	201	277	28	278	401	42	420	480	72	1124

Примечание. НВ - твердость по Бринеллю, НРС - твердость по Роквеллу, НЛ - твердость по Лискею.

Окончательно получим компоновочную схему, показанную на рис. 6.а.

4.4.4. Определим расчетный диаметр вала в опасном сечении. Вычисляем опорные реакции:

в горизонтальной плоскости

$$\sum M_y = R_y l_1 - R_{yx} (l_1 + l_2) + Q (l_1 + l_2 + l_3) = 0,$$

$$R_{yx} = \frac{R_y l_1 + Q (l_1 + l_2 + l_3)}{(l_1 + l_2)} = \frac{2960 \cdot 145 + 1200 \cdot 380}{290 + 3050} = 2960 \cdot 145 + 1200 \cdot 95 / 290 = 1110 \text{ Н},$$

в вертикальной плоскости

$$\sum M_x = R_x l_1 - R_{xy} (l_1 + l_2) = 0,$$

$$R_{xy} = (F_y l_1 - 0,5 F_{adw_1}) / (l_1 + l_2) = (2760 \cdot 145 - 0,5 \cdot 7580 \cdot 62) / 290 = 570 \text{ Н},$$

$$\sum M_z = R_z l_1 - R_{zy} (l_1 + l_2) - F_z l_2 - 0,5 F_{adw_2} = 0,$$

$$R_{zy} = (F_z l_2 + R_{xy} (l_1 + l_2) - F_z l_2 - 0,5 F_{adw_2}) / (l_1 + l_2) = 2455 \text{ Н},$$

$$F_z = \sqrt{R_{zy}^2 + R_{xy}^2} = \sqrt{1110^2 + 2455^2} = 2695 \text{ Н},$$

$$F_{zy} = \sqrt{F_{zy}^2 + R_{zy}^2} = \sqrt{3050^2 + 570^2} = 3100 \text{ Н},$$

В качестве опасного рассмотрим наиболее нагруженное сечение вала червяка по середине его нарезанной части. Изгибающие моменты в опасном сечении:

$$M_y = R_{yx} l_1 = 1110 \cdot 0,145 = 161 \text{ Н.м.}$$

$$M_x = R_{xy} l_1 = 2190 \cdot 0,145 = 318 \text{ Н.м.}$$

Суммарный изгибающий момент

$$M = \sqrt{M_y^2 + M_x^2} = \sqrt{161^2 + 318^2} = 365 \text{ Н.м.}$$

Приведенный момент по третьей теории прочности:

$$M_{np} = \sqrt{M_y^2 + (kT) M_x^2} = \sqrt{161^2 + (0,58 \cdot 92) M_x^2} = 360 \text{ Н.м.}$$

где  $k = [ \sigma_{-1} ] / [ \sigma_0 ] = 0,58$ ;  $[ \sigma_0 ] = 70 \text{ МПа}$ ;  $[ \sigma_{-1} ] = 130 \text{ МПа}$  / см. табл. 5/.

Расчетный диаметр вала в опасном сечении

$$d = \sqrt[3]{M_{np} / 0,1 [\sigma]} = \sqrt[3]{360 \cdot 10^3 / 0,1 \cdot 70} = 37,2 \text{ мм},$$

что почти на 20% меньше диаметра впадин червяка.



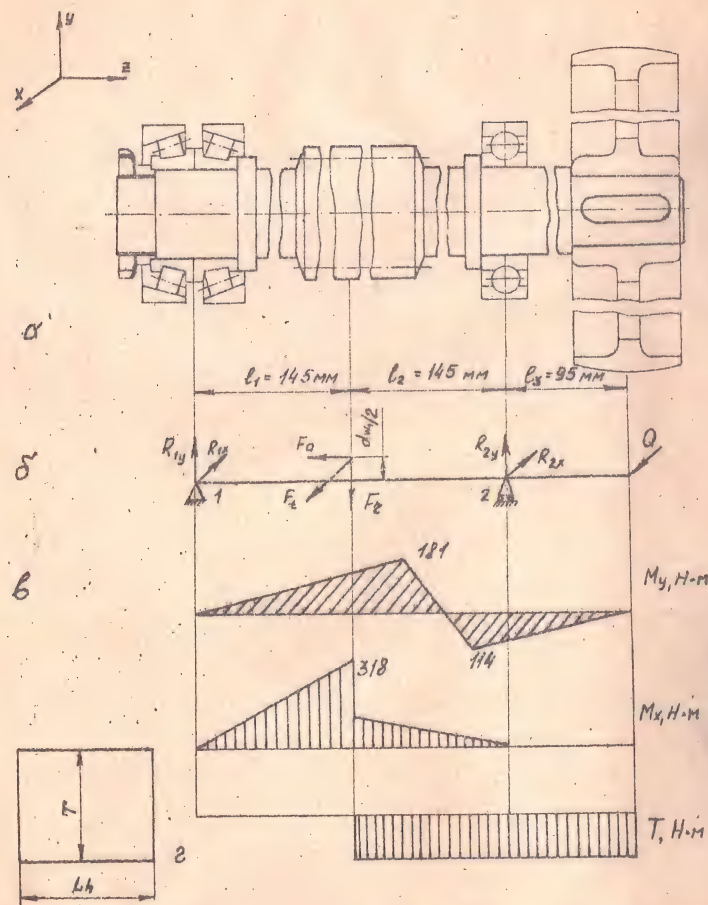


Рис. 6. К примеру 4.4: а - компоновочная схема; б - расчетная схема; в - опоры изгибающих и крутящих моментов; г - график нагружения

Таблица 3  
Нормальные линейные размеры /СТ СЭВ 514-77/

Ряды				Дополни- тельные размеры	Ряды				Дополни- тельные размеры
Ra 5	Ra 10	Ra 20	Ra 40		Ra 5	Ra 10	Ra 20	Ra 40	
10	10	10	10	10,2			45	45	46
			10,5	10,8				48	
		11	11	11,2			50	50	52
			11,5	11,8				53	55
	12	12	12	12,5			63	56	58
			13	13,5				60	62
		14	14	14,5				63	65
			15	15,5				67	70
				16,5				71	73
				17,5			80	75	78
16	16	16	16	17				80	82
			17	18,5				83	88
		18	18	19				90	92
			19	19,5			100	95	98
	20	20	20	20,5				100	102
			21	21,5				105	108
		22	22	23,0				110	112
			23					120	115
			24				125	125	118
				27				130	133
25	25	25	25	26				140	145
			26	27				150	155
		28	28	29			160	160	165
			30	31				170	175
	32	32	32	33				180	185
			34	35				190	
		36	36	37					
			37	39					
			38	41					
			42	44					
40	40	40	40	41					
			41	42					
			42	44					

Примечания: 1. СТ СЭВ 514-77 устанавливает ряды нормальных линейных размеров /диаметров, длин, высот/ в интервале 0,001...20000 мм.  
2. При выборе размеров ряды с более крупной градацией предпочтительней







приведет к значительной экономии материала. Однако не будем изменять компоновочную схему, поскольку рассматриваемый в примере вал представляет собой реальную конструкцию, взятую из стандартного редуктора, который студенты КНИ изучают на лабораторной работе.

4.3.6. Выполняем проверочный расчет вала на статическую прочность.

Определим максимальные нагрузки в опасных сечениях:

Сечение А-А

Сечение Б-Б

$$M'_A = K_A M_u = 1,5 \cdot 390 = 585 \text{ Н} \cdot \text{м}; \quad M'_B = K_B M_u = 1,5 \cdot 650 = 975 \text{ Н} \cdot \text{м};$$

$$T'_A = K_A T = 1,5 \cdot 485 = 730 \text{ Н} \cdot \text{м}; \quad T'_B = K_B T = 1,5 \cdot 485 = 730 \text{ Н} \cdot \text{м};$$

$$M'_{\text{пр}} = \sqrt{(M'_A)^2 + (T'_A)^2} = \sqrt{585^2 + 730^2} = 940 \text{ Н} \cdot \text{м}; \quad M'_B = \sqrt{(M'_B)^2 + (T'_B)^2} = \sqrt{975^2 + 730^2} = 1220 \text{ Н} \cdot \text{м};$$

$$\sigma'_{\text{пр}} = \frac{M'_{\text{пр}}}{W_x} = \frac{940 \cdot 10^3}{15290} = 61 \text{ МПа}; \quad \sigma'_{\text{пр}} = \frac{M'_B}{W_x} = \frac{1220 \cdot 10^3}{91 \cdot 71^3} = 34 \text{ МПа};$$

$$W_x = 15290 \text{ мм}^3 / \text{см. табл. 16}; \quad W_x = \frac{\pi d^3}{32} \approx 0,1 d^3.$$

$$\text{Допускаемые напряжения } [\sigma] = \frac{\sigma_T}{E_n} = \frac{700}{1,33} = 450 \text{ МПа}, [n] = 1,33$$

$$\text{при } \sigma_T / \sigma_B = 700 / 960 = 0,74 / \text{см. табл. 6}.$$

Таким образом, действующие напряжения в сечениях А-А и Б-Б существенно ниже допускаемых, поэтому статическая прочность вала обеспечена.

4.3.7. Выполняем проверочный расчет вала на выносливость при совместном действии циклических напряжений изгиба и кручения. Рассмотрим только сечение А-А.

Определим номинальное эквивалентное напряжение:

$$\sigma = \frac{\sqrt{M'^2 + T'^2}}{W_x} = (\sqrt{390^2 + 485^2}) / 15290 = 41 \text{ МПа};$$

$$E = 0,73 / \text{см. табл. 13}, K_\sigma = 2,25 / \text{см. табл. 10}.$$

Так как  $E \sigma / K_\sigma [\sigma] = 0,73 \cdot 420 / (2,25 \cdot 2,3) = 56 \text{ МПа} > \sigma_s, \sigma_B = 41 \text{ МПа}$ , уточненный расчет на выносливость не производят. Циклическая прочность вала обеспечена.

Таблица 6

Значения запасов прочности при расчете на статическую прочность  $[1; 7; 10]$

№ п/п	Материал вала	$[n, ]$
1	Весьма пластичный /при $\sigma_T / \sigma_B \leq 0,6/$	1,2...1,4
2	Пластичный при $\sigma_T / \sigma_B = 0,6...0,8$	1,4...1,6
3	Малопластичный при $\sigma_T / \sigma_B = 0,8...0,9$	1,6...2,2
4	Хрупкий	2,0...3,0

Таблица 7

Значения эффективных коэффициентов концентрации напряжений для валов с галтелями при изгибе  $[2; 7; 10]$

$\frac{D}{d}$	$\frac{r}{d}$	$K_\sigma$ при $\sigma_B$ , МПа				
		600	700	800	900	1000
$\leq 1,1$	0,02	1,96	2,08	2,20	2,35	2,50
	0,04	1,66	1,69	1,75	1,81	1,87
	0,06	1,51	1,52	1,54	1,57	1,60
	0,08	1,40	1,41	1,42	1,44	1,46
	0,10	1,34	1,36	1,37	1,38	1,39
	0,15	1,25	1,26	1,27	1,29	1,30
	0,20	1,19	1,21	1,22	1,23	1,24
1,1...1,2	0,02	2,34	2,51	2,66	2,89	3,10
	0,04	1,92	1,97	2,05	2,13	2,22
	0,06	1,71	1,74	1,76	1,80	1,84
	0,08	1,56	1,58	1,59	1,62	1,64
	0,10	1,48	1,50	1,51	1,53	1,54
	0,15	1,35	1,37	1,38	1,40	1,41
	0,20	1,27	1,29	1,30	1,32	1,34
1,2...2,0	0,02	2,40	2,60	2,80	3,00	3,25
	0,04	2,00	2,10	2,15	2,25	2,35
	0,06	1,85	1,88	1,90	1,96	2,00
	0,08	1,66	1,68	1,70	1,73	1,76
	0,10	1,57	1,59	1,61	1,63	1,64
	0,15	1,41	1,43	1,45	1,47	1,49
	0,20	1,32	1,34	1,36	1,38	1,40



Значения эффективных коэффициентов концентрации напряжений для валов с галтелями при кручении

Таблица 8

$\frac{D}{d}$	$\frac{D}{Z}$	при $\sigma_s$ , МПа			
		600	700	800	900
$\leq 1,1$	0,02	1,30	1,35	1,41	1,45
	0,04	1,20	1,24	1,29	1,32
	0,06	1,16	1,18	1,20	1,22
	0,08	1,13	1,14	1,16	1,17
	0,10	1,10	1,11	1,12	1,13
	0,12	1,08	1,09	1,10	1,11
	0,14	1,06	1,07	1,08	1,09
	0,16	1,04	1,05	1,06	1,07
	0,18	1,02	1,03	1,04	1,05
	0,20	1,00	1,01	1,02	1,03
1,1...1,2	0,02	1,30	1,35	1,41	1,45
	0,04	1,20	1,24	1,29	1,32
	0,06	1,16	1,18	1,20	1,22
	0,08	1,13	1,14	1,16	1,17
	0,10	1,10	1,11	1,12	1,13
	0,12	1,08	1,09	1,10	1,11
	0,14	1,06	1,07	1,08	1,09
	0,16	1,04	1,05	1,06	1,07
	0,18	1,02	1,03	1,04	1,05
	0,20	1,00	1,01	1,02	1,03
1,2...2,0	0,02	1,70	1,80	1,90	2,00
	0,04	1,56	1,66	1,76	1,86
	0,06	1,46	1,56	1,66	1,76
	0,08	1,38	1,48	1,58	1,68
	0,10	1,31	1,41	1,51	1,61
	0,12	1,25	1,35	1,45	1,55
	0,14	1,20	1,30	1,40	1,50
	0,16	1,16	1,26	1,36	1,46
	0,18	1,13	1,23	1,33	1,43
	0,20	1,10	1,20	1,30	1,40

Значения эффективных коэффициентов концентрации напряжений для валов с поперечными отверстиями [7; 10]

Таблица 9

$\frac{D}{d}$	*	$\sigma_s$ МПа		
		700	900	1000
0,05...0,1	$K_\sigma$	2,0	2,15	2,3
	$K_\tau$	1,8	1,9	2,1
0,15...0,25	$K_\sigma$	1,9	2,0	2,1
	$K_\tau$	1,75	1,9	2,0

\*  $d$  - диаметр отверстия

$$\Sigma M_{ix} = F_{ix} l'_1 - 0,5 F_{ix} d_{ix} - 0,5 F_{ix} d_{ix} - F_{ix} (l'_1 + l'_2) + R_{ix} (l'_1 + l'_2 + l'_3) = 0;$$

$$R_{ix} = (0,5 \cdot 2440 \cdot 81 + 1800 \cdot 148 + 0,5 \cdot 980 \cdot 201 - 4460 \cdot 64) / 200 = 880 \text{ Н.}$$

Суммарные опорные реакции

$$R'_{ix} = \sqrt{R_{ix}^2 + R_{iy}^2} = \sqrt{7420^2 + 880^2} = 7450 \text{ Н.}$$

$$R'_{iy} = \sqrt{R_{ix}^2 + R_{iy}^2} = \sqrt{9420^2 + 3340^2} = 10100 \text{ Н.}$$

В качестве опасных сечений рассмотрим сечения А-А и Б-Б.

Сечение А-А.

$$M_z = \sqrt{M_x^2 + M_y^2} = \sqrt{386^2 + 52,7^2} = 390 \text{ Н.м.}$$

Приведенный момент / по третьей теории прочности:

$$M_{prz} = \sqrt{M_x^2 + (0,6 \cdot 485)^2} = \sqrt{390^2 + (0,6 \cdot 485)^2} = 485 \text{ Н.м.}$$

$$\text{где } \chi = [ \sigma' ] / [ \sigma ] = 0,6; [ \sigma' ] = 85,0 \text{ МПа; } [ \sigma ] = 145 \text{ МПа}$$

/ табл. 5/.

Расчетный диаметр вала в сечении А-А. С учетом наличия в сечении шпоночного пазы примем  $[ \sigma' ] = 55 \text{ МПа}$ :

$$d = \sqrt[3]{\frac{M_{prz}}{0,1 [\sigma']}} = \sqrt[3]{\frac{485}{0,1 \cdot 55}} = 44,6 \text{ мм.}$$

что несколько меньше принятого. Учитывая, что это пойдет в за- лас прочности, окончательно принимаем  $d = 56 \text{ мм}$ .

Сечение Б-Б.

Суммарный изгибающий момент

$$M_z = \sqrt{M_x^2 + M_y^2} = \sqrt{604^2 + 240^2} = 650 \text{ Н.м.}$$

Приведенный момент / по третьей теории прочности:

$$M_{prz} = \sqrt{M_x^2 + (\chi T)^2} = \sqrt{650^2 + 10,8 \cdot 485^2} = 710 \text{ Н.м.}$$

$$\text{где } \chi = \frac{[\sigma']}{[\sigma]} = 0,6; [ \sigma' ] = 85 \text{ МПа; } [ \sigma ] = 145 \text{ МПа / определено ранее/.$$

Расчетный диаметр вала в сечении Б-Б:

$$d = \sqrt[3]{\frac{M_{prz}}{0,1 [\sigma']}} = \sqrt[3]{\frac{710}{0,1 \cdot 85}} = 43 \text{ мм.}$$

что значительно меньше диаметра впадин шестерни. Можно полагать, что износ от истощения шестерни отуляно от вала, поскольку это



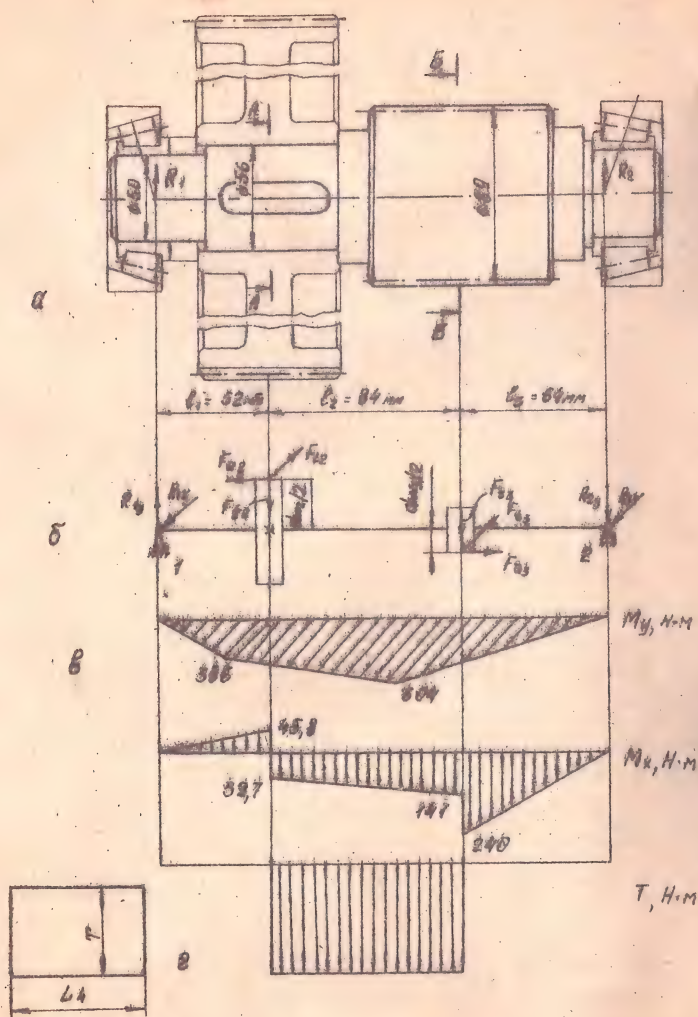


Рис.5. К примеру 4.3: а - компоновочная схема; б - расчетная схема; в - эпюры изгибающих и крутящих моментов; г - график нагружения

Таблица 10

Значения эффективных коэффициентов концентрации напряжений для валов со шпоночными пазами [7, 10]

$\sigma_s$ МПа	$K_\sigma$	$K_\tau$
500	1,60	1,40
600	1,75	1,50
700	1,90	1,70
800	2,00	1,90
1000	2,30	2,20

Таблица 11

Значения эффективных коэффициентов концентрации напряжений для шлицевых и резьбовых участков вала [7, 10]

$\sigma_s$ МПа	$K_\sigma$		$K_\tau$	
	для шлицев	для резьб	для шлицев	для резьб
400	1,35	1,45	2,10	1,40
500	1,45	1,80	2,25	1,45
600	1,55	1,95	2,35	1,46
700	1,60	2,20	2,45	1,49
800	1,65	2,30	2,55	1,52
900	1,70	2,45	2,65	1,55
1000	1,75	2,60	2,70	1,58
1200	1,75	2,90	2,80	1,60

Таблица 12

Значения  $K_{\sigma/\varepsilon}$  и  $K_{\tau/\varepsilon}$  в месте посадки деталей [10]

Диаметр, мм	Посадка	$\sigma_s$ МПа							
		400	500	600	700	800	900	1000	1200
1	2	3	4	5	6	7	8	9	10
				$K_{\sigma/\varepsilon}$ /изгиб/					
	H7/s6	2,25	2,50	2,75	3,0	3,25	3,3	3,75	4,25
30	H7/k6	1,69	1,83	2,06	2,25	2,44	2,63	2,82	3,19
	H7/h6	1,46	1,63	1,79	1,93	2,11	2,28	2,44	2,76



Окончание табл. 12

1	2	3	4	5	6	7	8	9	10	Значения $\xi$ и $\xi^2$ , 10 <sup>3</sup>																				
										Диаметр вала $d$ , мм																				
Материал											Сталь углеродистая										Сталь легированная									
											20	30	40	50	70	100	200													
											0,92	0,88	0,85	0,82	0,76	0,70	0,61													
											0,83	0,77	0,73	0,70	0,65	0,59	0,52													
											0,83	0,77	0,73	0,70	0,65	0,59	0,52													
											0,77	0,73	0,70	0,65	0,59	0,52	0,52													
											0,73	0,70	0,65	0,59	0,52	0,52	0,52													
											0,70	0,65	0,59	0,52	0,52	0,52	0,52													
											0,65	0,59	0,52	0,52	0,52	0,52	0,52													
											0,59	0,52	0,52	0,52	0,52	0,52	0,52													
											0,52	0,52	0,52	0,52	0,52	0,52	0,52													

Значения  $\epsilon_1$  и  $\epsilon_2$ , 10<sup>3</sup>

Таблица 13

1	2	3	4	5	6	7	8	9	10
100	H7/56	2,73	3,03	3,36	3,66	3,96	4,28	4,60	5,20
	H7/κ 6	2,06	2,28	2,52	2,75	2,97	3,20	3,45	3,90
	H7/λ 6	1,80	1,98	2,18	2,38	2,57	2,78	3,0	3,40
	H7/56	2,93	3,28	3,60	3,93	4,25	4,60	4,90	5,60
50	H7/κ 6	2,22	2,46	2,70	2,96	3,20	3,46	3,98	4,20
	H7/λ 6	1,92	2,19	2,34	2,56	2,76	3,0	3,18	3,64
	H7/56	2,05	2,23	2,52	2,60	2,78	3,07	3,25	3,62
	H7/κ 6	1,64	1,87	2,03	2,15	2,28	2,12	2,57	2,74
30	H7/λ 6	1,28	1,38	1,47	1,57	1,67	1,77	1,86	2,06
	H7/κ 6	1,41	1,53	1,64	1,75	1,86	1,98	2,09	2,31
	H7/56	1,75	1,90	2,05	2,2	2,35	2,5	2,65	2,95
	H7/κ 6	1,63	1,88	2,04	2,18	2,32	2,48	2,80	2,92
100	H7/56	2,17	2,37	2,56	2,76	2,95	3,16	3,34	3,76
	H7/κ 6	1,63	1,88	2,04	2,18	2,32	2,48	2,80	2,92
	H7/λ 6	1,48	1,60	1,71	1,83	1,93	2,07	2,20	2,42
	H7/56	2,05	2,23	2,52	2,60	2,78	3,07	3,25	3,62
50	H7/κ 6	1,64	1,87	2,03	2,15	2,28	2,12	2,57	2,74
	H7/λ 6	1,48	1,60	1,71	1,83	1,93	2,07	2,20	2,42
	H7/56	2,17	2,37	2,56	2,76	2,95	3,16	3,34	3,76
	H7/κ 6	1,63	1,88	2,04	2,18	2,32	2,48	2,80	2,92
30	H7/λ 6	1,28	1,38	1,47	1,57	1,67	1,77	1,86	2,06
	H7/κ 6	1,41	1,53	1,64	1,75	1,86	1,98	2,09	2,31
	H7/56	1,75	1,90	2,05	2,2	2,35	2,5	2,65	2,95
	H7/κ 6	1,63	1,88	2,04	2,18	2,32	2,48	2,80	2,92
100	H7/56	2,17	2,37	2,56	2,76	2,95	3,16	3,34	3,76
	H7/κ 6	1,63	1,88	2,04	2,18	2,32	2,48	2,80	2,92
	H7/λ 6	1,48	1,60	1,71	1,83	1,93	2,07	2,20	2,42
	H7/56	2,05	2,23	2,52	2,60	2,78	3,07	3,25	3,62
50	H7/κ 6	1,64	1,87	2,03	2,15	2,28	2,12	2,57	2,74
	H7/λ 6	1,48	1,60	1,71	1,83	1,93	2,07	2,20	2,42
	H7/56	2,17	2,37	2,56	2,76	2,95	3,16	3,34	3,76
	H7/κ 6	1,63	1,88	2,04	2,18	2,32	2,48	2,80	2,92
30	H7/λ 6	1,28	1,38	1,47	1,57	1,67	1,77	1,86	2,06
	H7/κ 6	1,41	1,53	1,64	1,75	1,86	1,98	2,09	2,31
	H7/56	1,75	1,90	2,05	2,2	2,35	2,5	2,65	2,95
	H7/κ 6	1,63	1,88	2,04	2,18	2,32	2,48	2,80	2,92
100	H7/56	2,17	2,37	2,56	2,76	2,95	3,16	3,34	3,76
	H7/κ 6	1,63	1,88	2,04	2,18	2,32	2,48	2,80	2,92
	H7/λ 6	1,48	1,60	1,71	1,83	1,93	2,07	2,20	2,42
	H7/56	2,05	2,23	2,52	2,60	2,78	3,07	3,25	3,62
50	H7/κ 6	1,64	1,87	2,03	2,15	2,28	2,12	2,57	2,74
	H7/λ 6	1,48	1,60	1,71	1,83	1,93	2,07	2,20	2,42
	H7/56	2,17	2,37	2,56	2,76	2,95	3,16	3,34	3,76
	H7/κ 6	1,63	1,88	2,04	2,18	2,32	2,48	2,80	2,92
30	H7/λ 6	1,28	1,38	1,47	1,57	1,67	1,77	1,86	2,06
	H7/κ 6	1,41	1,53	1,64	1,75	1,86	1,98	2,09	2,31
	H7/56	1,75	1,90	2,05	2,2	2,35	2,5	2,65	2,95
	H7/κ 6	1,63	1,88	2,04	2,18	2,32	2,48	2,80	2,92
100	H7/56	2,17	2,37	2,56	2,76	2,95	3,16	3,34	3,76
	H7/κ 6	1,63	1,88	2,04	2,18	2,32	2,48	2,80	2,92
	H7/λ 6	1,48	1,60	1,71	1,83	1,93	2,07	2,20	2,42
	H7/56	2,05	2,23	2,52	2,60	2,78	3,07	3,25	3,62
50	H7/κ 6	1,64	1,87	2,03	2,15	2,28	2,12	2,57	2,74
	H7/λ 6	1,48	1,60	1,71	1,83	1,93	2,07	2,20	2,42
	H7/56	2,17	2,37	2,56	2,76	2,95	3,16	3,34	3,76
	H7/κ 6	1,63	1,88	2,04	2,18	2,32	2,48	2,80	2,92
30	H7/λ 6	1,28	1,38	1,47	1,57	1,67	1,77	1,86	2,06
	H7/κ 6	1,41	1,53	1,64	1,75	1,86	1,98	2,09	2,31
	H7/56	1,75	1,90	2,05	2,2	2,35	2,5	2,65	2,95
	H7/κ 6	1,63	1,88	2,04	2,18	2,32	2,48	2,80	2,92
100	H7/56	2,17	2,37	2,56	2,76	2,95	3,16	3,34	3,76
	H7/κ 6	1,63	1,88	2,04	2,18	2,32	2,48	2,80	2,92
	H7/λ 6	1,48	1,60	1,71	1,83	1,93	2,07	2,20	2,42
	H7/56	2,05	2,23	2,52	2,60	2,78	3,07	3,25	3,62
50	H7/κ 6	1,64	1,87	2,03	2,15	2,28	2,12	2,57	2,74
	H7/λ 6	1,48	1,60	1,71	1,83	1,93	2,07	2,20	2,42
	H7/56	2,17	2,37	2,56	2,76	2,95	3,16	3,34	3,76
	H7/κ 6	1,63	1,88	2,04	2,18	2,32	2,48	2,80	2,92
30	H7/λ 6	1,28	1,38	1,47	1,57	1,67	1,77	1,86	2,06
	H7/κ 6	1,41	1,53	1,64	1,75	1,86	1,98	2,09	2,31
	H7/56	1,75	1,90	2,05	2,2	2,35	2,5	2,65	2,95
	H7/κ 6	1,63	1,88	2,04	2,18	2,32	2,48	2,80	2,92
100	H7/56	2,17	2,37	2,56	2,76	2,95	3,16	3,34	3,76
	H7/κ 6	1,63	1,88	2,04	2,18	2,32	2,48	2,80	2,92
	H7/λ 6	1,48	1,60	1,71	1,83	1,93	2,07	2,20	2,42
	H7/56	2,05	2,23	2,52	2,60	2,78	3,07	3,25	3,62
50	H7/κ 6	1,64	1,87	2,03	2,15	2,28	2,12	2,57	2,74
	H7/λ 6	1,48	1,60	1,71	1,83	1,93	2,07	2,20	2,42
	H7/56	2,17	2,37	2,56	2,76	2,95	3,16	3,34	3,76
	H7/κ 6	1,63	1,88	2,04	2,18	2,32	2,48	2,80	2,92
30	H7/λ 6	1,28	1,38	1,47	1,57	1,67	1,77	1,86	2,06
	H7/κ 6	1,41	1,53	1,64	1,75	1,86	1,98	2,09	2,31
	H7/56	1,75	1,90	2,05	2,2	2,35	2,5	2,65	2,95
	H7/κ 6	1,63	1,88	2,04	2,18	2,32	2,48	2,80	2,92
100	H7/56	2,17	2,37	2,56	2,76	2,95	3,16	3,34	3,76
	H7/κ 6	1,63	1,88	2,04	2,18	2,32	2,48	2,80	2,92
	H7/λ 6	1,48	1,60	1,71	1,83	1,93	2,07	2,20	2,42
	H7/56	2,05	2,23	2,52	2,60	2,78	3,07	3,25	3,62
50	H7/κ 6	1,64	1,87	2,03	2,15	2,28	2,12	2,57	2,74
	H7/λ 6	1,48	1,60	1,71	1,83	1,93	2,07	2,20	2,42
	H7/56	2,17	2,37	2,56	2,76	2,95	3,16	3,34	3,76
	H7/κ 6	1,63	1,88	2,04	2,18	2,32	2,48	2,80	2,92
30	H7/λ 6	1,28	1,38	1,47	1,57	1,67	1,77	1,86	2,06
	H7/κ 6	1,41	1,53	1,64	1,75	1,86	1,98	2,09	2,31
	H7/56	1,75	1,90	2,05	2,2	2,35	2,5	2,65	2,95
	H7/κ 6	1,63	1,88	2,04	2,18	2,32	2,48	2,80	2,92
100	H7/56	2,17	2,37	2,56	2,76	2,95	3,16	3,34	3,76
	H7/κ 6	1,63	1,88	2,04	2,18	2,32	2,48	2,80	2,92
	H7/λ 6	1,48	1,60	1,71	1,83	1,93	2,07	2,20	2,42
	H7/56	2,05	2,23	2,52	2,60	2,78	3,07	3,25	3,62
50	H7/κ 6	1,64	1,87	2,03	2,15	2,28	2,12	2,57	2,74
	H7/λ 6	1,48	1,60	1,71	1,83	1,93	2,07	2,20	2,42
	H7/56	2,17	2,37	2,56	2,76	2,95	3,16	3,34	3,76
	H7/κ 6	1,63	1,88	2,04	2,18	2,32	2,48	2,80	2,92
30	H7/λ 6	1,28	1,38	1,47	1,57	1,67	1,77	1,86	2,06
	H7/κ 6	1,41	1,53	1,64	1,75	1,86	1,98	2,09	2,31
	H7/56	1,75	1,90	2,05	2,2	2,35	2,5	2,65	2,95
	H7/κ 6	1,63	1,88	2,04	2,18	2,32	2,48	2,80	2,92
100	H7/56	2,17	2,37	2,56	2,76	2,95	3,16	3,34	3,76
	H7/κ 6	1,63	1,88	2,04	2,18	2,32	2,48	2,80	2,92
	H7/λ 6	1,48	1,60	1,71	1,83	1,93	2,07	2,20	2,42
	H7/56	2,05	2,23	2,52	2,60	2,78	3,07	3,25	3,62
50	H7/κ 6	1,64	1,87	2,03	2,15	2,28	2,12	2,57	2,74
	H7/λ 6	1,48	1,60	1,71	1,83	1,93	2,07	2,20	2,42
	H7/56	2,17	2,37	2,56	2,76	2,95	3,16	3,34	3,76
	H7/κ 6	1,63	1,88	2,04	2,18	2,32	2,48	2,80	2,92
30	H7/λ 6	1,28	1,38	1,47	1,57	1,67	1,77	1,86	2,06
	H7/κ 6	1,41	1,53	1,64	1,75	1,86	1,98	2,09	2,31
	H7/56	1,75	1,90	2,05	2,2	2,35	2,5	2,65	2,95
	H7/κ 6	1,63	1,88	2,04	2,18	2,32	2,48	2,80	2,92
100	H7/56	2,17	2,37	2,56	2,76	2,95	3,16	3,34	3,76
	H7/κ 6	1,63	1,88	2,04	2,18	2,32	2,48	2,80	2,92
	H7/λ 6	1,48	1,60	1,71	1,83	1,93	2,07	2,20	2,42
	H7/56	2,05	2,23	2,52	2,60	2,78	3,07	3,25	3,62
50	H7/κ 6	1,64	1,87	2,03	2,15	2,28	2,12	2,57	2,74
	H7/λ 6	1,48	1,60	1,71	1,83	1,93	2,07	2,20	2,42
	H7/56	2,17	2,37	2,56	2,76	2,95	3,16	3,34	3,76
	H7/κ 6	1,63	1,88	2,04	2,18	2,32	2,48	2,80	2,92
30	H7/λ 6	1,28	1,38	1,47	1,57	1,67	1,77	1,86	2,06
	H7/κ 6	1,41	1,53	1,64	1,75	1,86	1,98	2,09	2,31
	H7/56	1,75	1,90	2,05	2,2	2,35	2,5	2,65	2,95
	H7/κ 6	1,63	1,88	2,04	2,18	2,32	2,48	2,80	2,92
100	H7/56	2,17	2,37	2,56	2,76	2,95	3,16	3,34	3,76
	H7/κ 6	1,63	1,88	2,04	2,18	2,32	2,48	2,80	2,92
	H7/λ 6	1,48	1,60	1,71	1,83	1,93	2,07	2,20	2,42
	H7/56	2,05	2,23	2,52	2,60	2,78	3,07	3,25	3,62
50	H7/κ 6	1,64	1,87	2,03	2,15	2,28	2,12	2,57	2,74
	H7/λ 6	1,48	1,60	1,71	1,83	1,93	2,07	2,20	2,42
	H7/56	2,17	2,37	2,56	2,76	2,95	3,16	3,34	3,76
	H7/κ 6	1,63	1,88	2,04	2,18	2,32	2,48	2,80	



Определяем пределы выносливости при изгибе и кручении с учетом переменности режима нагружения /см.п.1.6.1/

$$\sigma_{-1} = \sigma_{-1} K_L = 240 \text{ МПа}; \tau_{-1} = \tau_{-1} K_L = 145 \text{ МПа},$$

где  $K_L = \sqrt{N_0 / N_E}$ ;  $N_0 = 5 \cdot 10^6$  - базовое число циклов,  $N_E = [0,5 (T/T)^9 + 0,5 (0,6T/T)^9] \cdot 450 \cdot 60 \cdot 15000 = 202 \cdot 10^6$  - эквивалентное число циклов нагружений.

Так как  $N_E > N_0$ , то  $K_L = 1$ . Определяем коэффициент запаса прочности:

при изгибе

$$S_\sigma = \frac{\sigma_{-1}}{K_\sigma \sigma_a} = \frac{240}{(2,0/1,05) \cdot 46,7} = 2,7;$$

при кручении

$$S_\tau = \frac{\tau_{-1}}{K_\tau \tau_m / \epsilon_\tau \beta + \psi_\tau \tau_m} = \frac{145}{(1,6/1,05) \cdot 8,8 + 0,05 \cdot 8,8} = 10,3,$$

где  $K_\sigma / \epsilon = 2,0$ ;  $K_\tau / \epsilon = 1,6$  /табл.12/;  $\beta = 1,05$  /при  $R\alpha 0,63$ , см.табл.14/;  $\psi_\tau = 0,05$  /табл.1/. Определяем общий запас циклической прочности при совместном действии изгиба и кручения:

$$S = \frac{S_\sigma \cdot S_\tau}{\sqrt{S_\sigma^2 + S_\tau^2}} = \frac{2,7 \cdot 10,3}{\sqrt{2,7^2 + 10,3^2}} = 2,6 > [S] = 1,5 \dots 2,5.$$

Таким образом, в течение заданного срока службы усталостное разрушение вала не произойдет.

#### 4.3. Пример расчета промежуточного вала двухступенчатого цилиндрического косозубого редуктора

Дано: передаваемая мощность  $P = 37,2$  кВт; частота вращения  $n = 730 \text{ мин}^{-1}$ ; диаметр начальной окружности колеса быстроходной ступени  $d_{w2} = 201 \text{ мм}$ , ширина колеса  $b_2 = 60 \text{ мм}$ ; диаметр начальной окружности шестерни тихоходной ступени  $d_{w3} = 81 \text{ мм}$ , ширина шестерни  $b_3 = 84 \text{ мм}$ , нормальный модуль  $m_n = 4 \text{ мм}$ ; угол наклона зубьев  $\beta = \beta_2 = \beta_3 = 11^\circ 30'$ ; режим работы редуктора постоянный, кратковременные перегрузки  $K_n = T_{max} / T = 1,5$ ; срок службы  $L_h = 10000 \text{ ч}$ .

##### 4.3.1. Определяем действующие на вал нагрузки:

крутящий момент  $T = 9550 P / n = 9550 \cdot 37,2 / 730 = 485 \text{ Н} \cdot \text{м}$ ;

окружные силы  $F_{t2} = 2T / d_{w2} = 2 \cdot 485 \cdot 10^3 / 201 = 4840 \text{ Н}$ ;

$$F_{t3} = 2T / d_{w3} = 2 \cdot 485 \cdot 10^3 / 81 = 12000 \text{ Н};$$

Таблица 14

Значения коэффициентов  $\beta$  [7; 10]

Обработка и класс шероховатости поверхности	$\sigma_s$ МПа			
	400	700	900	1200
Шлифование, $R\alpha 0,32 \dots R\alpha 0,16$	1,00	1,00	1,00	1,00
Обточка, $R\alpha 2,5 \dots R\alpha 0,63$	1,05	1,10	1,15	1,25
Обдирка, $R\alpha 80 \dots R\alpha 20$	1,20	1,25	1,35	1,50
Необработанная поверхность	1,35	1,30	1,90	2,20

Таблица 15

Значения коэффициента  $\beta_y$  при различных видах  
поверхностного упрочнения [7; 9; 10]

Вид упрочнения	$\sigma_s$ сжимающие, МПа	для гладких валов	$\beta_y$	
			при $K_\sigma$	
			1,5	2,0
Закалка с нагревом ТВЧ /толщина олов 0,9...1,3 мм/	600...800	1,5...1,7	1,6...1,7	2,4...2,8
	800...1000	1,3...1,5	-	-
Дробеструйный наклеп или накатка роликом	600...1600	1,1...1,3	1,5...1,6	1,7...2,0
	400...600	1,8...2,0	3,0	-
Азотирование	900...1200	1,1...1,2	1,5...1,7	1,7...2,8
	700...800	1,4...1,5	-	-
Цементация	1000...1200	1,2...1,3	2,0	-



Таблица 16

Моменты сопротивлений сечений валов со шпоночным пазом по стандарту шпоны по СТ СБВ 189-75 и ГОСТ 23360-78

Лин- метр вал d, мм	Сечение шпонки b x h, мм	Момент сопро- тивле- ния W, мм <sup>3</sup>	Лин- метр вал d, мм	Сечение шпонки b x h, мм	Момент сопро- тивле- ния W, мм <sup>3</sup>	Лин- метр вал d, мм	Сечение шпонки b x h, мм	Момент сопро- тивле- ния W, мм <sup>3</sup>	Лин- метр вал d, мм	Сечение шпонки b x h, мм	Момент сопро- тивле- ния W, мм <sup>3</sup>
20	6 x 6	653	1440	45	14 x 9	7800	16740	20300	14 x 9	9620	20300
21	6 x 6	770	1680	48	14 x 9	9620	20300	23050	14 x 9	10800	23050
22	6 x 6	697	1940	50	14 x 9	10800	23050	27270	16 x 10	12770	27270
23	8 x 7	1275	2810	53	16 x 10	14510	30800	32440	16 x 10	15290	32440
26	8 x 7	1433	3180	56	16 x 10	15290	32440	40000	18 x 11	18760	40000
30	8 x 7	2320	4970	63	18 x 11	21900	46400	53470	22 x 12	26070	53470
32	10 x 8	2730	3940	67	22 x 12	26070	53470	63800	22 x 12	30200	63800
34	10 x 8	3330	7190	70	22 x 12	30200	63800	66030	22 x 12	31230	66030
36	10 x 8	4010	8590	71	22 x 12	31230	66030	79000	22 x 12	37600	79000
38	10 x 8	4760	10130	75	22 x 12	37600	79000	89100	22 x 14	42000	89100
40	12 x 8	5510	11790	80							
42	12 x 8	6450	13720								

Прямая в качестве опорного сечения была принята наруж-  
ная - по прямому наименьшему. Находящиеся моменты в опасном сече-  
нии:  $M_y = q(l_1^2 + l_2^2) - K_x l_2^2 = (1000 \cdot 165 - 560 \cdot 100) / 1000 = 109 \text{ Н} \cdot \text{м}$   
 $M_x = K_y l_2^2 = 240 \cdot 100 / 1000 = 24 \text{ Н} \cdot \text{м}$

$$\text{Суммарный изгибающий момент} \\ M_y = \sqrt{M_x^2 + M_z^2} = \sqrt{24^2 + 109^2} = 115 \text{ Н} \cdot \text{м}$$

$$\text{Приведенный момент / по теории теории прочности /} \\ M_{пр.ш} = \sqrt{M_y^2 + (K_T)^2} = \sqrt{115^2 + (0,6 \cdot 95,5)^2} = 128 \text{ Н} \cdot \text{м}$$

$$\text{где } K = [G_1] / [G_2] = 0,6; [G_1] = 30 \text{ МПа}; [G_2] = 82,5 \text{ МПа} \\ \text{/см. т.д. 3/. Расчетный диаметр вала в опасном сечении}$$

$$d = \sqrt[3]{\frac{M_{пр.ш}}{0,1 G_1}} = \sqrt[3]{\frac{128 \cdot 10^3}{0,1 \cdot 30}} = 29,4 \text{ мм, что несколько меньше приня-} \\ \text{того ранее } d_n = 30 \text{ мм. Окончательно принимаем } d_n = 30 \text{ мм.}$$

4.2.6. Выполняем проверочный расчет вала на статическую  
прочность. С учетом перерезок определяем максимальные нагрузки  
в опасном сечении

$$M_y' = K_y M_y = 2 \cdot 115 = 230 \text{ Н} \cdot \text{м}; T' = K_T \cdot T = 2 \cdot 95,5 = 191 \text{ Н} \cdot \text{м} \\ M_{ш.ш}' = \sqrt{(M_y')^2 + (T')^2} = \sqrt{230^2 + 191^2} = 300 \text{ Н} \cdot \text{м}$$

Напряжения в опасном сечении

$$\sigma_{ш.ш} = \frac{M_{ш.ш}'}{W_{ш.ш}} = \frac{300 \cdot 10^3}{0,1 \cdot 30^3} = 111 \text{ МПа}$$

$$\text{Допускаемые напряжения } [G] = G_1 / [n_1] = 320 / 1,4 = 230 \text{ МПа}$$

$$\text{где } [n_1] = 1,4 \text{ при } G_1 / G_2 = 320 / 340 = 0,99 \text{ /см. т.д. 6/.}$$

Поскольку  $\sigma_{ш.ш} < [G]$ , статическая прочность вала обеспечена.  
4.2.7. Выполняем проверочный расчет вала на выносливость.  
Определяем амплитудные и средние напряжения циклов в опасном  
сечении:

$$\text{при изгибе /симметричный цикл/: } \sigma_m = 0 \\ \sigma_a = M_{ш.ш}' / W_x = 126 \cdot 10^3 / (0,1 \cdot 30^3) = 46,7 \text{ МПа;} \\ \text{при кручении} \\ \tau_a = \tau_m = 0,5 T / W_p = 0,5 \cdot 95,5 \cdot 10^3 / 0,2 \cdot 30^3 = 8,8 \text{ МПа.}$$



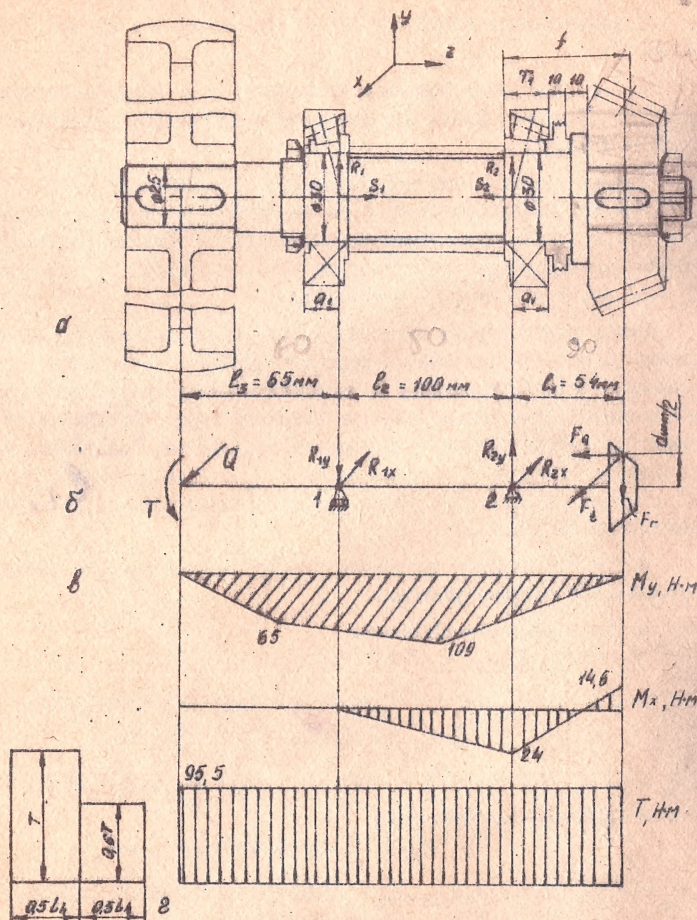


Рис.4. К примеру 4.2: а - компоновочная схема; б - расчетная схема; в - эпюры изгибающих и крутящих моментов; г - график нагружения

Таблица 17  
Зависимость коэффициента безопасности  $K_s$   
от характера нагрузки [4; 6]

Характер нагрузки на подшипник	$K_s$	Примеры использования
Спокойная нагрузка без толчков	1,0	Ролики ленточных конвейеров; маломощные кинематические редукторы и приводы
Легкие толчки, кратковременные перегрузки до 125% номинальной /расчетной/ нагрузки	1,0...1,2	Прецизионные зубчатые передачи; металлорежущие станки /кроме строгальных и долбежных/; блоки; электродвигатели малой и средней мощности; легкие вентиляторы и воздуходувки
Умеренные толчки, вибрационная нагрузка, кратковременные перегрузки до 150% номинальной /расчетной/ нагрузки	1,3...1,5	Буксы рельсового подвижного состава; зубчатые передачи 7-й и 8-й степени точности; редукторы всех конструкций
То же, в условиях повышенной надежности	1,5...1,8	Центрифуги; мощные электрические машины; энергетическое оборудование
Нагрузки со значительными толчками и вибрацией, кратковременные перегрузки до 200% номинальной /расчетной/ нагрузки	1,8...2,5	Зубчатые передачи 9-й степени точности; дробилки и копиры; кривошипно-шатунные механизмы; валки прокатных станков; мощные вентиляторы и эжекторы
Нагрузки с сильными ударами. Кратковременные перегрузки до 300% номинальной /расчетной/ нагрузки	2,5...3,0	Тяжелые ковочные машины, лесопильные рамы; рабочие рольганги у крупносортовых станков, алюминговы и слесингов

Таблица 18  
Значения коэффициента  $K_T$  [4; 6]

Рабочая температура подшипника, °C	125	125	150	175	200	225	250
$K_T$	1,0	1,05	1,10	1,15	1,25	1,35	1,40



4. ПРИМЕНЕНИЕ РАЧУЛА

4.1. Пример расчета ведомого для координатного пятилучевого звукового лучефора /рис.3/

Дано: передаваемая мощность  $P = 19$  кВт; частота вращения вала  $n = 190$  мин.<sup>-1</sup>; коэффициент полезного действия на валу  $\eta = 0,9$ ; коэффициент полезного действия коробки передач  $\eta_{\text{кп}} = 0,95$ ; диаметр вала  $d = 80$  мм; угол наклона зубьев  $\beta = 20^\circ$ .

4.1.1. Определить действующие на вас нагрузки:

$$T = 9550 \text{ } p/12 = 9550 \cdot 19/190 = 955 \text{ Н.м.}$$
$$\tau_2 = 2\pi / \rho' = 2 \cdot 955 \cdot 10^3 / 303,5 = 6300 \text{ H};$$
$$r^2 = r_0^2 / \cos^2 \theta = 6300 \cdot 0,363 / 0,995 = 2300 \text{ м.}$$

0,102 = 6300 · 0,009 = 57,87 = 57,87% или 57,87%.

4.1.2. В качестве материала для изготовления валов назначаем

*(The following text is mirrored bleed-through from the reverse side of the page)*

$$\sigma_1 = 610 \text{ MPa}, \sigma_2 = 360 \text{ MPa}, \sigma_3 = 270 \text{ MPa}, \sigma_4 = 150 \text{ MPa}$$

4.1.3. Ориентировочно определен диаметр вала по зубчатому

Коллекция. Издание 1977 = 30 шт.

$$d = 10 \sqrt[3]{\frac{0.2}{T}} = 10 \sqrt[3]{\frac{0.2 \cdot 30}{955}} = 54 \text{ mm}$$

По ст. 514-77 /Твод.З/ принятым  $\rho = 0.55$  мм.

4.1.4. Выпущенное вскизнуто компоновку узла вага, конотруктив-

но определенным образом его уяснить и составить точную картину

показатели не являются действительными. По причине запозда-

ков пог. подпунктика при  $\rho = 55$  мы принимаем подпунктика средней се-

Вид 309, у котопак  $d'' = 43$  мм,  $l'' = 100$  мм,  $b'' = 25$  мм. Видны

$$L_1 = L - 2 = 78 \text{ mm. Взаор между оленкой разуктора и торца}$$

он принимает II мм с каждой стороны. Принимаем для подшипников

Краткий обзор см. в: 1900, 1901, 1902, 1903, 1904, 1905, 1906, 1907, 1908, 1909, 1910, 1911, 1912, 1913, 1914, 1915, 1916, 1917, 1918, 1919, 1920, 1921, 1922, 1923, 1924, 1925, 1926, 1927, 1928, 1929, 1930, 1931, 1932, 1933, 1934, 1935, 1936, 1937, 1938, 1939, 1940, 1941, 1942, 1943, 1944, 1945, 1946, 1947, 1948, 1949, 1950, 1951, 1952, 1953, 1954, 1955, 1956, 1957, 1958, 1959, 1960, 1961, 1962, 1963, 1964, 1965, 1966, 1967, 1968, 1969, 1970, 1971, 1972, 1973, 1974, 1975, 1976, 1977, 1978, 1979, 1980, 1981, 1982, 1983, 1984, 1985, 1986, 1987, 1988, 1989, 1990, 1991, 1992, 1993, 1994, 1995, 1996, 1997, 1998, 1999, 2000, 2001, 2002, 2003, 2004, 2005, 2006, 2007, 2008, 2009, 2010, 2011, 2012, 2013, 2014, 2015, 2016, 2017, 2018, 2019, 2020, 2021, 2022, 2023, 2024, 2025, 2026, 2027, 2028, 2029, 2030, 2031, 2032, 2033, 2034, 2035, 2036, 2037, 2038, 2039, 2040, 2041, 2042, 2043, 2044, 2045, 2046, 2047, 2048, 2049, 2050, 2051, 2052, 2053, 2054, 2055, 2056, 2057, 2058, 2059, 2060, 2061, 2062, 2063, 2064, 2065, 2066, 2067, 2068, 2069, 2070, 2071, 2072, 2073, 2074, 2075, 2076, 2077, 2078, 2079, 2080, 2081, 2082, 2083, 2084, 2085, 2086, 2087, 2088, 2089, 2090, 2091, 2092, 2093, 2094, 2095, 2096, 2097, 2098, 2099, 2100, 2101, 2102, 2103, 2104, 2105, 2106, 2107, 2108, 2109, 2110, 2111, 2112, 2113, 2114, 2115, 2116, 2117, 2118, 2119, 2120, 2121, 2122, 2123, 2124, 2125, 2126, 2127, 2128, 2129, 2130, 2131, 2132, 2133, 2134, 2135, 2136, 2137, 2138, 2139, 2140, 2141, 2142, 2143, 2144, 2145, 2146, 2147, 2148, 2149, 2150, 2151, 2152, 2153, 2154, 2155, 2156, 2157, 2158, 2159, 2160, 2161, 2162, 2163, 2164, 2165, 2166, 2167, 2168, 2169, 2170, 2171, 2172, 2173, 2174, 2175, 2176, 2177, 2178, 2179, 2180, 2181, 2182, 2183, 2184, 2185, 2186, 2187, 2188, 2189, 2190, 2191, 2192, 2193, 2194, 2195, 2196, 2197, 2198, 2199, 2200, 2201, 2202, 2203, 2204, 2205, 2206, 2207, 2208, 2209, 2210, 2211, 2212, 2213, 2214, 2215, 2216, 2217, 2218, 2219, 2220, 2221, 2222, 2223, 2224, 2225, 2226, 2227, 2228, 2229, 2230, 2231, 2232, 2233, 2234, 2235, 2236, 2237, 2238, 2239, 2240, 2241, 2242, 2243, 2244, 2245, 2246, 2247, 2248, 2249, 2250, 2251, 2252, 2253, 2254, 2255, 2256, 2257, 2258, 2259, 2260, 2261, 2262, 2263, 2264, 2265, 2266, 2267, 2268, 2269, 2270, 2271, 2272, 2273, 2274, 2275, 2276, 2277, 2278, 2279, 2280, 2281, 2282, 2283, 2284, 2285, 2286, 2287, 2288, 2289, 2290, 2291, 2292, 2293, 2294, 2295, 2296, 2297, 2298, 2299, 2300, 2301, 2302, 2303, 2304, 2305, 2306, 2307, 2308, 2309, 2310, 2311, 2312, 2313, 2314, 2315, 2316, 2317, 2318, 2319, 2320, 2321, 2322, 2323, 2324, 2325, 2326, 2327, 2328, 2329, 2330, 2331, 2332, 2333, 2334, 2335, 2336, 2337, 2338, 2339, 2340, 2341, 2342, 2343, 2344, 2345, 2346, 2347, 2348, 2349, 2350, 2351, 2352, 2353, 2354, 2355, 2356, 2357, 2358, 2359, 2360, 2361, 2362, 2363, 2364, 2365, 2366, 2367, 2368, 2369, 2370, 2371, 2372, 2373, 2374, 2375, 2376, 2377, 2378, 2379, 2380, 2381, 2382, 2383, 2384, 2385, 2386, 2387, 2388, 2389, 2390, 2391, 2392, 2393, 2394, 2395, 2396, 2397, 2398, 2399, 2400, 2401, 2402, 2403, 2404, 2405, 2406, 2407, 2408, 2409, 2410, 2411, 2412, 2413, 2414, 2415, 2416, 2417, 2418, 2419, 2420, 2421, 2422, 2423, 2424, 2425, 2426, 2427, 2428, 2429, 2430, 2431, 2432, 2433, 2434, 2435, 2436, 2437, 2438, 2439, 2440, 2441, 2442, 2443, 2444, 2445, 2446, 2447, 2448, 2449, 2450, 2451, 2452, 2453, 2454, 2455, 2456, 2457, 2458, 2459, 2460, 2461, 2462, 2463, 2464, 2465, 2466, 2467, 2468, 2469, 2470, 2471, 2472, 2473, 2474, 2475, 2476, 2477, 2478, 2479, 2480, 2481, 2482, 2483, 2484, 2485, 2486, 2487, 2488, 2489, 2490, 2491, 2492, 2493, 2494, 2495, 2496, 2497, 2498, 2499, 2500, 2501, 2502, 2503, 2504, 2505, 2506, 2507, 2508, 2509, 2510, 2511, 2512, 2513, 2514, 2515, 2516, 2517, 2518, 2519, 2520, 2521, 2522, 2523, 2524, 2525, 2526, 2527, 2528, 2529, 2530, 2531, 2532, 2533, 2534, 2535, 2536, 2537, 2538, 2539, 2540, 2541, 2542, 2543, 2544, 2545, 2546, 2547, 2548, 2549, 2550, 2551, 2552, 2553, 2554, 2555, 2556, 2557, 2558, 2559, 2560, 2561, 2562, 2563, 2564, 2565, 2566, 2567, 2568, 2569, 2570, 2571, 2572, 2573, 2574, 2575, 2576, 2577, 2578, 2579, 2580,

\* W M O I U O H

MM. 09

В соответствии со СТ СБВ 537-77 принимаем  $\delta = 25$  мм,  $\ell =$

4.2.4. Выполняем осевую компоновку узла вала, конструктор-  
ливо определяем размеры его участков и соотносим полученную ось-  
му вала /рис.4/.

Примем диаметр шара по подшипник  $d_2 = 1,0 \dots 1,1$ ,  $d = 1,1$ ,  $d_1 = 27,5$  мм. Окончательно  $d_2 = 30$  мм,  $d_1 = 30$  мм. В качестве опор протавинки наменьше использовать подшипники роликовые конические сферические легкой серии 1206, у которых  $d_2 = 30$  мм,  $d_1 = 62$  мм,  $b = 16$  мм,  $r_1 = 17,25$  мм.

Забор между торфом шестерни и вытравленной отенкой релуктора

применяю 10 мм. так как омерзк не было поглотилась запылилась, пре-

на толщину 10 мм. Работы по внешнему торцу полиминика по

Точки приложения реакции /см. подраз. 1.4/ 14 мм. Работоспособное макс-

$$k_2 = 11,4 \cdot 10^{-3} \text{ с}^{-1}$$

показанные на рис. 4, в.

4.2.3. Определяем расчетный диаметр вала в опасном сечении.

Расчетным способом стороны реакции:

и горизонтальной плоскости

$$R_{2T} = [F_7^T \quad I_7 + L_7] / L_7 = (2020 \cdot 154 \cdot 1000 - 65) / 100 = 24604$$

$$\sum M^z = 0 (\ell_1 + \ell_2) - R^x \ell_2 - F^z \ell_1 = 0$$

$$R_{12} = [Q(L_2 + L_1) - F L_2] / L_2 = (1000 \cdot 165 - 2020 \cdot 54) / 100 = 560 \text{ H}$$

В вертлявой плоскости

$$0 = x_1' - x_2' + \frac{1}{\sqrt{2}}(x_1' + x_2') = x_1'$$

$$R^2 = [F'(l_1 + l_2) - 0.5 F_d^{wm}] / l_2^2 = (730.154 - 0.5 \cdot 330 \cdot 88.4) / 100 = 9704$$

144 2 1 2 3 6 7 7

$$K_{\text{гид}} = [c_1^2 \cdot c_2^2 \cdot d^2] / \epsilon^2 = (730 \cdot 54 - 0.5 \cdot 330 \cdot 88.4) / 100 = 240 \text{ Н.}$$

$$H.O.I.S = \sqrt{R_2^2 + 240^2} = \sqrt{560^2 + R_2^2} = \sqrt{R_2^2 + R_2^2} = \sqrt{2} R_2$$

$$F_{12} = \sqrt{R_{12}^2 + R_{22}^2} = \sqrt{2460^2 + 970^2} = 2660 \text{ N}$$



при кручении

$$S_r = \frac{\tau_{-13}}{K_\tau} = \frac{150}{\frac{1,5}{0,7 \cdot 0,8} \cdot 15,5 + 0,05 \cdot 15,5} = 4,7,$$

где  $K_\tau = 1,75$ ;  $K_\sigma = 1,5$  /см.табл.10/;  $\epsilon_\sigma = 0,82$ ,  $\epsilon_\tau = 0,7$  /см.табл.13/;  $\beta = 1,08$  /при  $R\alpha 2,5 \dots R\alpha 0,63$ , см.табл.14/;  $\psi_\tau = 0,05$  /см.табл.1/.

Определяем общий запас циклической прочности при совместном действии изгиба и кручения:

$$S = \frac{S_\sigma \cdot S_\tau}{\sqrt{S_\sigma^2 + S_\tau^2}} = \frac{3,2 \cdot 4,7}{\sqrt{3,2^2 + 4,7^2}} = 2,65 > [S] = 1,5 \dots 2,5.$$

Таким образом, в течение заданного срока службы усталостное разрушение вала не произойдет.

#### 4.2. Пример расчета ведущего вала конического зубчатого редуктора

Дано: передаваемая мощность  $P = 4,5$  кВт; частота вращения  $n = 450$  мин<sup>-1</sup>; вращательное движение на вал передается через ременную передачу, ведомый шкив которой насажен на входной вал редуктора, сила давления ремня на вал  $Q = 1000$  Н; график нагружения показан на рис.4, срок службы редуктора  $L_h = 15000$  ч; коэффициент кратковременной перегрузки  $K_n = T_{max}/T = 2,0$ ; средний начальный диаметр шестерни  $d_{wm} = 88,4$  мм; ширина зубчатого венца  $b = 38$  мм; угол делительного конуса  $\delta = 24^\circ 09'$ .

4.2.1. Определяем действующие на вал нагрузки:

$$\text{крутящий момент } T = 9550 P/n = 9550 (4,5/450) = 95,5 \text{ Н}\cdot\text{м};$$

$$\text{окружная сила } F_t = 2T/d_{wm} = 2 \cdot 95,5 \cdot 10^3 / 88,4 = 2020 \text{ Н};$$

$$\text{радиальная сила } F_r = F_t \tan \alpha \cos \delta = 2020 \cdot 0,364 \cdot 0,913 = 730 \text{ Н};$$

$$\text{осевая сила } F_a = F_t \tan \alpha \sin \delta = 2020 \cdot 0,364 \cdot 0,4089 = 330 \text{ Н}.$$

4.2.2. В качестве материала для изготовления вала примем углеродистую сталь 35 по ГОСТ 1050-77. Термообработка - нормализация. Механические характеристики /см.по табл.1/: HB207,  $\sigma_b = 540$  МПа;  $\sigma_r = 320$  МПа;  $\sigma_{-1} = 240$  МПа;  $\tau_{-1} = 145$  МПа.

4.2.3. Ориентировочно определяем диаметр выходного конца вала:  $d = \sqrt[3]{140 \cdot T} = \sqrt[3]{140 \cdot 95,5} = 23,8 \text{ мм}.$

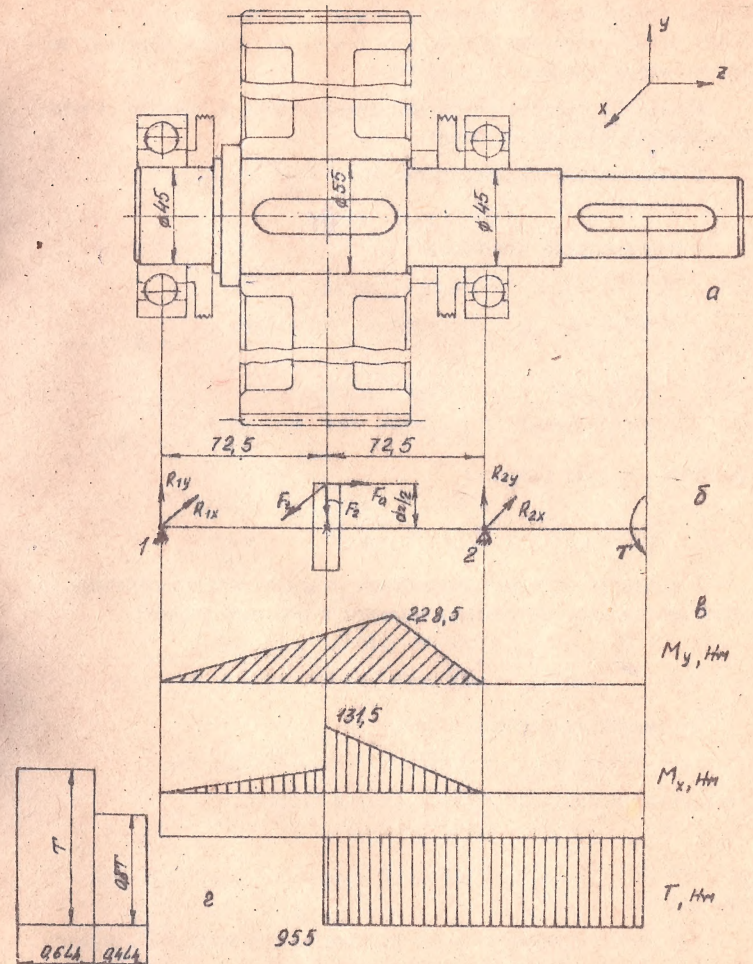


Рис.3. К примеру 4.1: а - компоновочная схема; б - расчетная схема; в - эпюры изгибающих и крутящих моментов; г - график нагружения



Размеры выходящего из катушки конца вала принимаем по СТ СБВ 537-77, получим  $d = 40$  мм,  $l = 82$  мм. Таким образом, расстояние между опорами  $L = 145$  мм.

4.1.5. Определим расчетный диаметр вала в опасном сечении. Расчетные опорные реакции:

$$\text{в горизонтальной плоскости: } R_{ix} = R_{sx} = 0,5 F_z = 3150 \text{ Н}$$

в вертикальной плоскости:

$$\sum M_{ix} = F_{iy} L - R_{iy} L + 0,5 F_d W = 0, \text{ откуда}$$

$$R_{iy} = \frac{0,5(F_{iy} L + F_d W)}{L} = \frac{0,5(2300 \cdot 145 + 630 \cdot 303,5)}{145} = 1810 \text{ Н}$$

$$\sum M_{ix} = R_{iy} L + 0,5 F_d W - 0,5 F_z L = 0$$

$$R_{iy} = \frac{0,5(F_{iy} L - F_d W)}{L} = \frac{0,5(2300 \cdot 145 - 630 \cdot 303,5)}{145} = 490 \text{ Н}$$

Суммарные опорные реакции:

$$F_{ix} = \sqrt{R_{ix}^2 + R_{iy}^2} = \sqrt{3150^2 + 490^2} = 3200 \text{ Н}$$

$$F_{iy} = \sqrt{R_{iy}^2 + R_{iz}^2} = \sqrt{1810^2 + 3640^2} = 3640 \text{ Н}$$

В качестве опасного рассмотрим сечение вала по середине зубчатого колеса. Матрица опасные моменты в опасном сечении

$$M_y = 0,5 R_{ix} L = 3150 \cdot 0,0725 = 228,5 \text{ Н.м}$$

$$M_x = 0,5 R_{iy} L + 0,5 F_d W = 490 \cdot 0,0725 + 630 \cdot 0,3035 = 131,5 \text{ Н.м}$$

Суммарный изгибающий момент

$$M_y = \sqrt{M_x^2 + M_y^2} = \sqrt{228,5^2 + 131,5^2} = 262 \text{ Н.м}$$

Приведенный момент по третьей теории прочности:

$$M_{пр} = \sqrt{M_y^2 + (4T)^2} = \sqrt{262^2 + (0,58 \cdot 955)^2} = 615 \text{ Н.м}$$

$$\text{где } \sigma = [\sigma_1] / [\sigma_0] = 0,58, [\sigma_1] = 55 \text{ МПа}, [\sigma_0] = 95 \text{ МПа}$$

Так как в опасном сечении находится шпоночный паз, принимаем  $[\sigma_1] = 40$  МПа. Расчетный диаметр вала

$$d = \sqrt[3]{\frac{M_{пр}}{[\sigma_1]}} = \sqrt[3]{\frac{615 \cdot 10^3}{0,1 \cdot 40}} = 53,5 \text{ мм}$$

Так как расчетный диаметр вала несущественно отличается от полученного в ориентировочном расчете, окончательно принимаем  $d = 55$  мм.

4.1.6. Выполним проверочный расчет вала на остаточную прочность.

О учетом коэффициента перегрузки определим максимальные нагрузки в опасном сечении:

$$M_y' = K_n M_y = 1,9 \cdot 262 = 498 \text{ Н.м}, T = K_n T = 1,9 \cdot 955 = 1815 \text{ Н.м}$$

$$M_{пр}' = \sqrt{M_y'^2 + (4T)^2} = \sqrt{498^2 + 1815^2} = 1880 \text{ Н.м}$$

Напряжения в опасном сечении

$$\sigma_{np} = \frac{M_{пр}'}{W_{no}} = \frac{1880 \cdot 10^3}{0,1 \cdot 55^3} = 112,5 \text{ МПа}$$

Получаемые напряжения  $[\sigma] = \sigma_t / [\sigma_1] = 360 / 1,4 = 277$  МПа, где  $[\sigma_1] = 1,4$  при  $\sigma_t / \sigma_0 = 0,39$  / см. табл. 6/. Покольку  $\sigma_{np} < [\sigma]$ , статическая прочность вала обеспечена.

4.1.7. Выполним проверочный расчет вала на выносливость. Определим амплитудные и средние напряжения циклов в опасном сечении:

$$\sigma_a = M_{пр} / W_x = \frac{14510}{(615 \cdot 10^3)} = 42,4 \text{ МПа}, \sigma_m = 0$$

при кручении  $W_p = 30800$  мм<sup>3</sup>, см. табл. 16/

$$\tau_a = \tau_m = 0,5 T / W_p = 0,5 \cdot 955 \cdot 10^3 / 30800 = 15,5 \text{ МПа}$$

Определим пределы выносливости при изгибе и кручении в учетом переменной режима нагружения:

$$\sigma_{-1} = 0,1 \sigma_0 = 270 \text{ МПа}; \tau_{-1} = 0,1 \tau_0 = 150 \text{ МПа}$$

где  $K_\sigma = \sqrt{N_0 / N}$ ;  $N_0 = 5 \cdot 10^6$  - базовое число циклов.

$$N = \sum N_{i,j} = \sum \left( \frac{T_i}{T_j} \right)^9 = \left[ 0,6 \left( \frac{T}{T_j} \right)^9 + 0,4 \left( 0,8 T / T_j \right)^9 \right] \cdot 150 \cdot 60 \cdot 2500 = 183 \cdot 10^6$$

разд. 6.1/, так как  $N > N_0$ ,  $K_\tau = 1$ .

Определим коэффициент запаса прочности:

$$S_\sigma = \frac{\sigma_{-1}}{\sigma_a} = \frac{270}{11,75 / (0,82 \cdot 1,08) / 42,4} = 3,2$$